

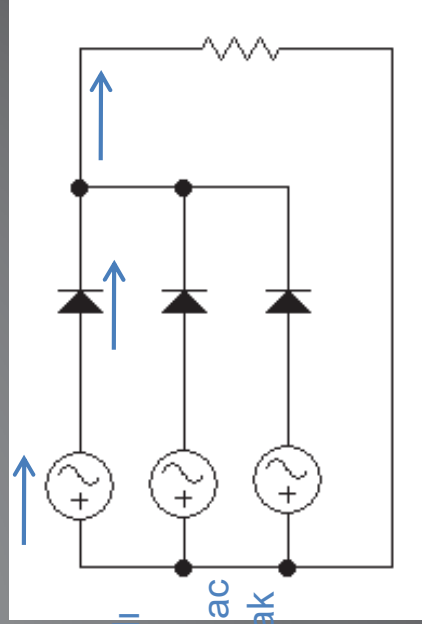
# IV – AC/DC DÖNÜŞTÜRÜCÜLER

## 3 FAZLI DOĞRULTUCULAR:

- 3 fazlı doğrultucular hem daha yüksek güç elde etmek için hem de daha düzgün DC gerilim sağlamak için kullanılan güç elektroniği devrelerle
- 1 fazlı doğrultucu devrelerle yaklaşık 15kW güçlere kadar çıkışında daha yüksek güçler için ise 3 faz kullanımı gerekmektedir.

- 3 fazlı doğrultucular da 1 fazlılar gibi önce kontrolsuz daha sonra da kontrollu olarak inceleneceler ve analizi yapılacaktır.

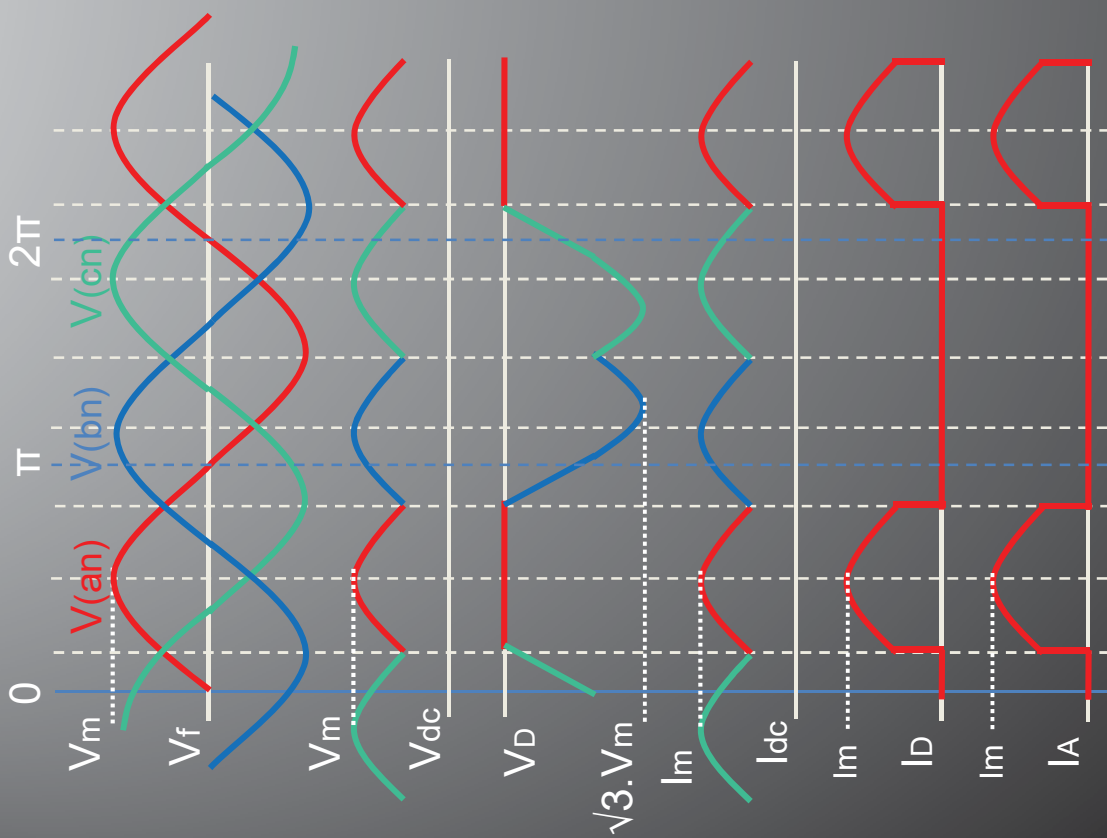
- 3 fazlı yarım dalga kontrolsuz doğrultucu (rezistif yükte);
- 3 fazlı yarım dalga kontrolsuz doğrultucu bağıltısı rezistif yükte çalışma için Şekil-4.74'de gösterilmiştir. Şekilden görüldüğü gibi her fazın pozitif alternansı bir diyon tarafından iletilemektedir.
- Şekil-4.75 de ise devreye ait temel dalga şekilleri görülmektedir.



3 fazlı  
yıldız  
bağlı  
ac  
kaynak

# IV – AC/DC DÖNÜŞTÜRÜCÜLER

- Yan taraftaki dalga temel şekillerinden görülebileceği gibi, yarım dalga doğrultma yapılmasına ve filtreleme kullanılmamasına rağmen her 3 faz gerilimi arasındaki  $120^\circ$  lik faz kaymalarından dolayı çıkış gerilimi oldukça düzgün oluşmuştur.
- Devrenin faz gerilimlerini doğrulttuğu görülmektedir. Fakat diyotlar üzerine gelen ters gerilimin hat gerilimi olduğu görülmektedir.
- Kaynaklardan çekilen akım ise kare dalga formatında olup  $120^\circ$  faz farklıdır.



# IV – AC/DC DÖNÜŞTÜRÜCÜLER

- Çıkış geriliminin ortalama değeri ( $V_{dc}$ );

□ 3 fazlı yarım dalgı kontrolsuz doğrultucunun rezistif yükteki çıkış gerilim dalgı şekli aşağıdaki Şekil-4.76'da görüldüğü gibi olduğunu belirtmişlik. Bu durumda gerilimin ortalama değeri yan taraftaki gibi bulunabilecektir.

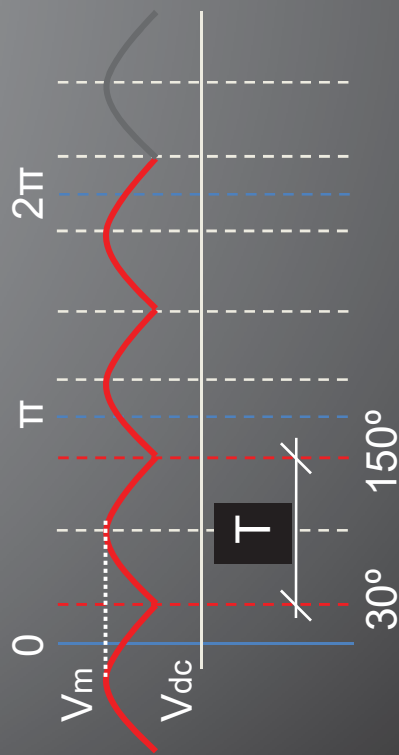
$$V_{dc} = \frac{1}{T} \int_0^T v_o(t) dt$$

$$V_{dc} = \frac{1}{2\pi/3} \int_{\pi/6}^{5\pi/6} V_m \sin \omega t \cdot d(\omega t)$$

$$V_{dc} = \frac{3}{2\pi} \int_{\pi/6}^{5\pi/6} V_m \sin \omega t \cdot d(\omega t)$$

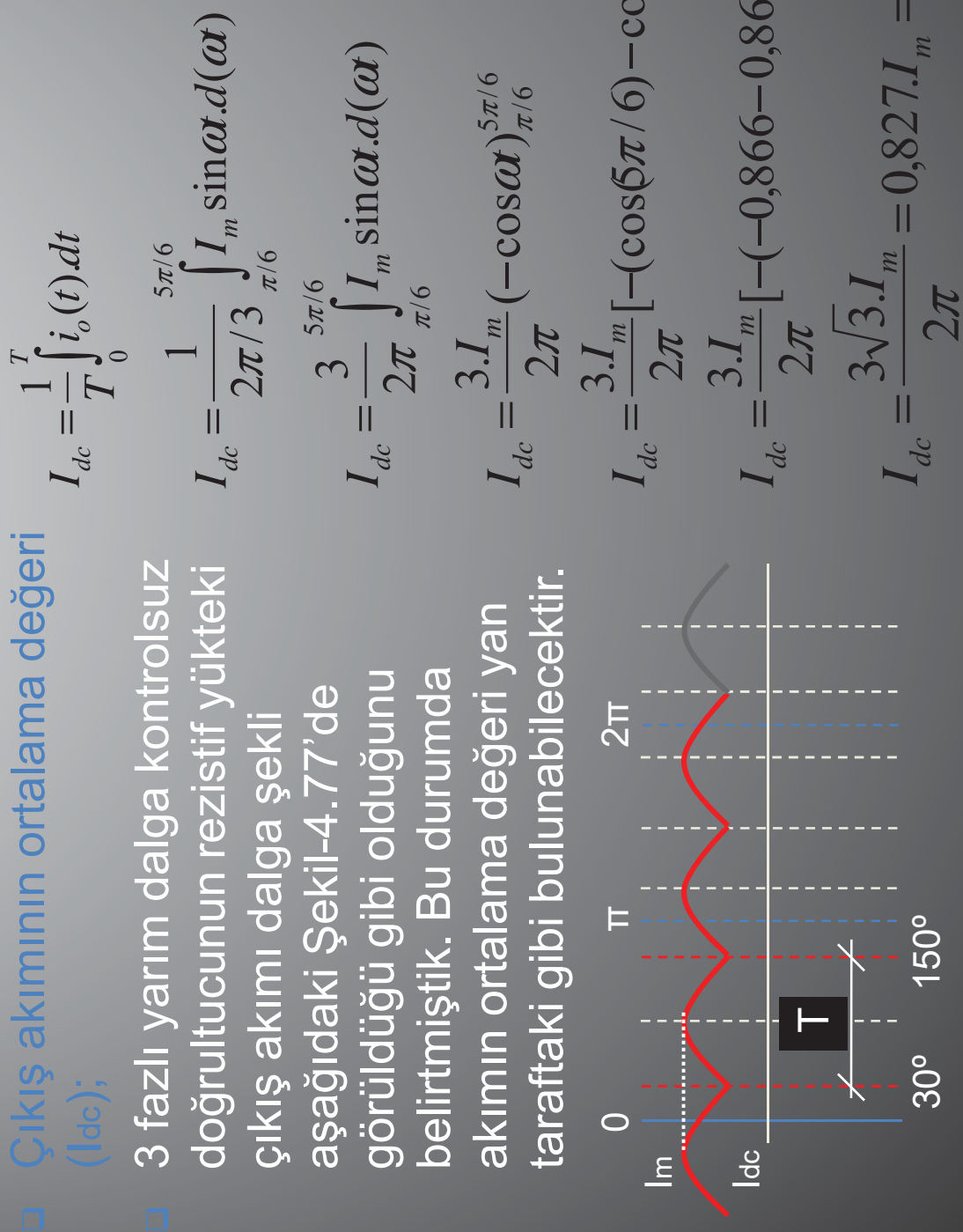
$$V_{dc} = \frac{3V_m}{2\pi} (-\cos \omega t) \Big|_{\pi/6}^{5\pi/6}$$

$$V_{dc} = \frac{3V_m}{2\pi} [ -(\cos 6\pi/6) - \cos (\pi/6) ]$$
$$V_{dc} = \frac{3V_m}{2\pi} [ -(-0,866 - 0,866) ] = \frac{3V_m}{2\pi} \cdot 1,732$$
$$V_{dc} = \frac{3\sqrt{3}V_m}{2\pi} = 0,827V_m$$



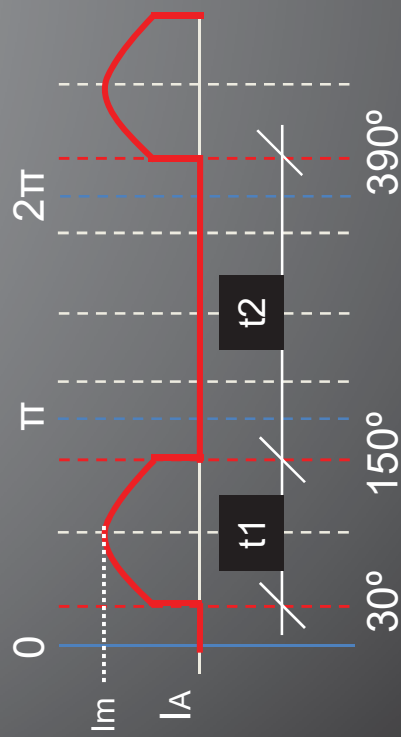
# IV – AC/DC DÖNÜŞTÜRÜCÜLER

- Çıkış akımının ortalama değeri ( $I_{dc}$ );



## IV – AC/DC DÖNÜŞTÜRÜCÜLER

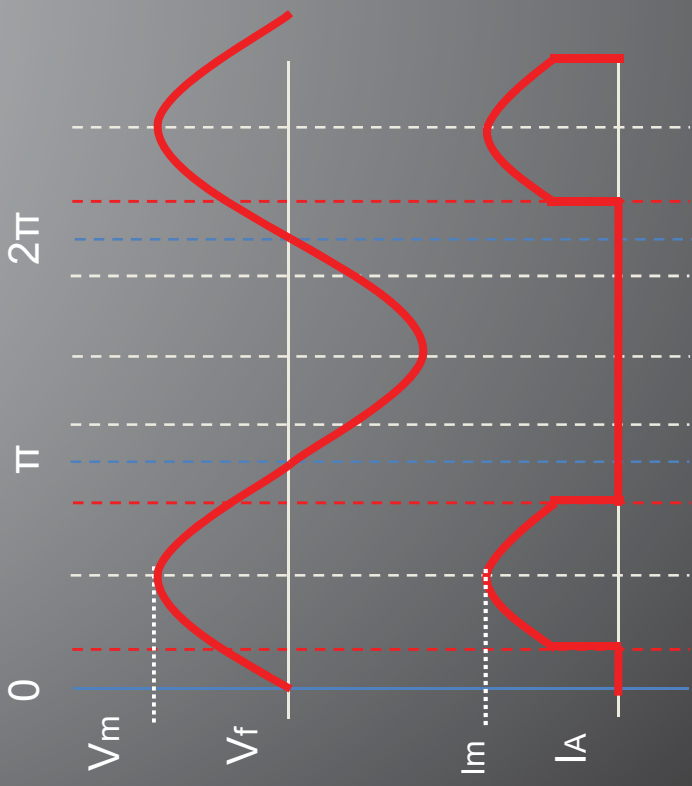
- Ortalama çıkış gücü ( $P_{dc}$ );  
 $P_{dc} = I_{dc} \cdot V_{dc}$  ‘den bulunabilir.
- Kaynak akımının etkin değeri ( $|A_{(rms)}|$ );  
Kaynağın bir fazından çekilen akım Şekil-4.78’de görülmekte olup bu akımın etkin değeri yandaki gibi bulunabilecektir.
- Şekil-4.78’de verilen şeke göre kaynak akımını “ $|m$ ” tepe değerli kare dalga formatında bir akım olarak kabul edersek bu akımın yaklaşık etkin değeri
- $|A_{(rms)}| = |m| \cdot \sqrt{k}$   
esitliğinden bulunabilecektir.  
Burada etkin peryot ( $k$ ),  
 $k = t_1 / (t_1 + t_2)$ ‘den bulunacaktır.



- 5) Kaynaktan çekilen toplam etkin güç ( $P_{S(rms)}$ );  
 $P_{A(rms)} = |A_{(rms)}| \cdot V_{f(rms)}$
- Üç fazdan çekilen toplam güç;  
 $P_{S(rms)} = 3 \cdot P_{A(rms)}$

# IV – AC/DC DÖNÜŞTÜRÜCÜLER

- Devrenin güç katsayısı ( $\cos\phi$ );  
Kaynağının bir fazından çekilen akım ve ilgili faz gerilimi Şekil-4.79'da görülmektedir.
- Şekil-4.79'da verilen şeke  
göre kaynak akımı, kaynağın sadece pozitif alternanslarında çekildiği için dengesiz ve güç katsayısı da belirsizdir.



- Anahtar (diyot) akımı ( $I_D$ );  
Anahtarlar (diyot) akımı dalgası Şekil-4.80'deki gibi gibidir. Bu şekele göre anahtarlar akımı;  
$$I_D = I_m + (\%30 \cdot I_m) = 1,3 \cdot V_m / R$$

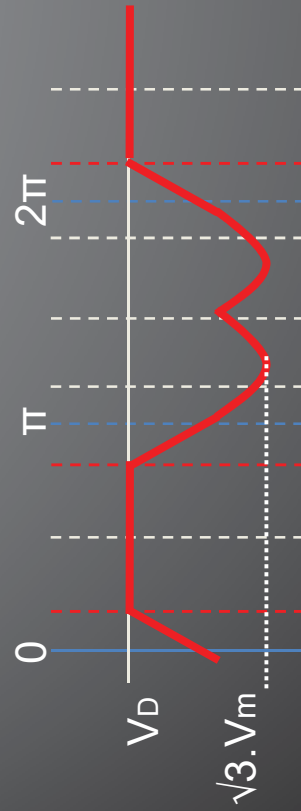


# IV – AC/DC DÖNÜŞTÜRÜCÜLER

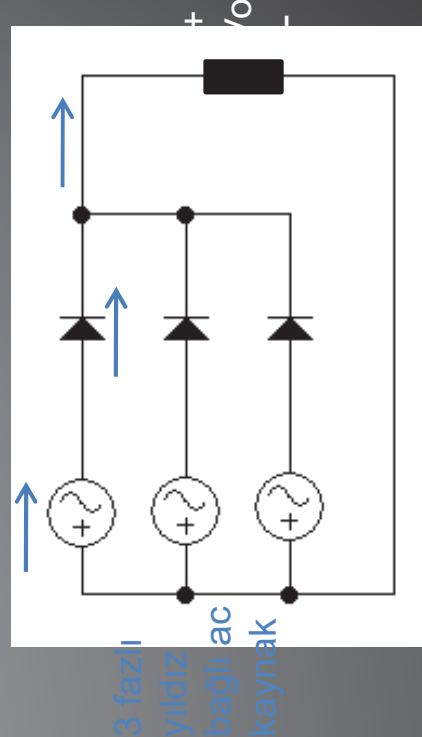
- Anahtar (diyot) gerilimi ( $V_D$ );  
Anahtar gerilimi aşağıdaki gibi  
Şekil-4.81'de görülmektedir.  
Görülüdüğü gibi anahtar üzerinde  
doğrudan kaynağın hat gerilimi  
gelmektedir. Bu durumda  
anahtar gerilimi, hat gerilimi  
tepe değerinin ( $\sqrt{3} \cdot V_m$ ) en az  
%30 daha fazlası olmalıdır.

$$V_D = \sqrt{3} \cdot V_m + \%30$$

$$V_D = \sqrt{3} \cdot V_m \cdot 1,3 \text{ olur.}$$

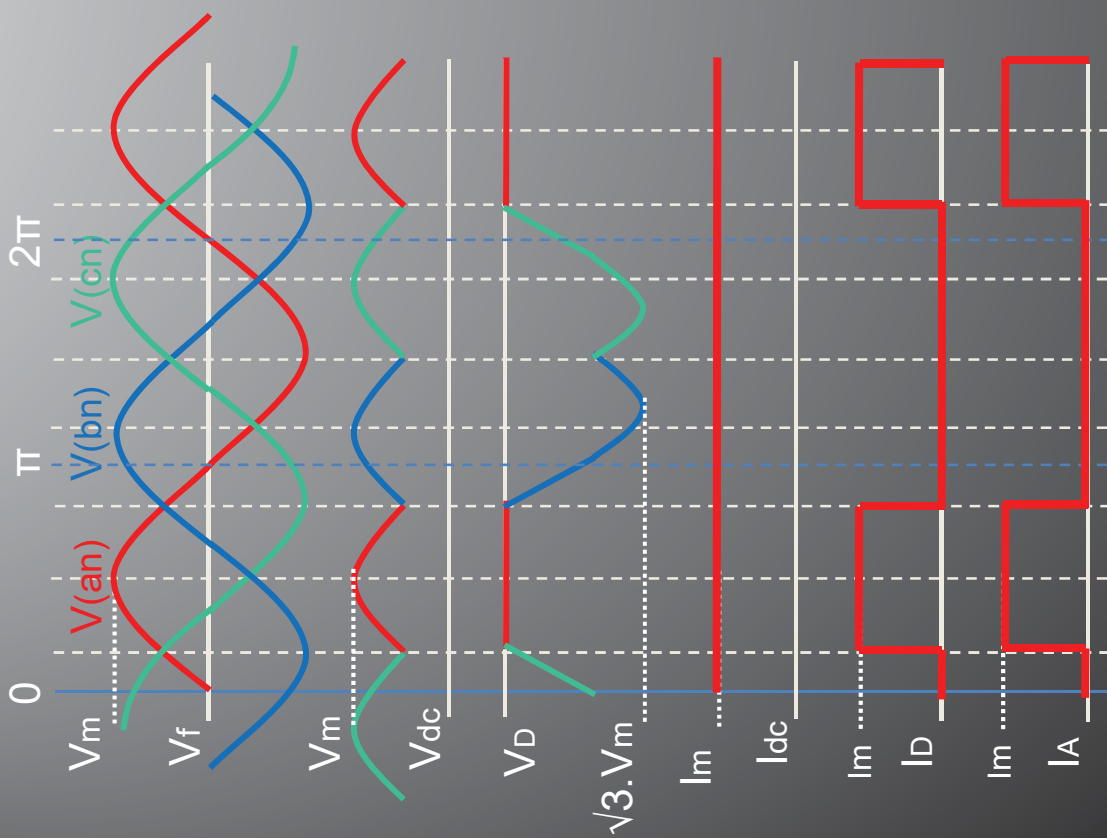


- 3 fazlı yarım dalgıa kontrolsuz doğrultucu (endüktif yükte);
- 3 fazlı yarım dalgıa kontrolsuz doğrultucu bağlantısı endüktif yük için aşağıdağı Şekil-4.82'de gösterilmiştir. Şekilden görüldüğü gibi yüke ters paralel bir serbest geçiş diyodu bağlanmıştır.
- Şekil-4.83 de ise devreye ait temel dalgıa şıkları görülmektedir.



# IV – AC/DC DÖNÜŞTÜRÜCÜLER

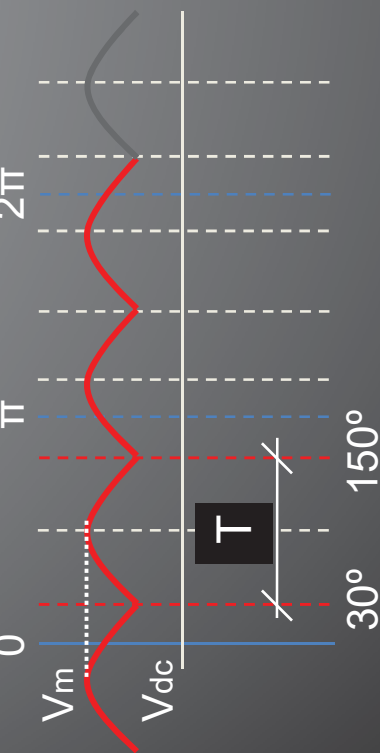
- Yan taraftaki dalga temel şekillerinden görülebileceği gibi, yarım dalga doğrultma yapılmasına ve filtreleme kullanılmamasına rağmen her 3 faz gerilimi arasındaki  $120^\circ$  lik faz kaymalarından dolayı çıkış gerilimi oldukça düzgün oluşmuştur.
- Devrenin faz gerilimlerini doğrulttuğu görülmektedir. Fakat diyotlar üzerine gelen ters gerilimin hat gerilimi olduğu görülmektedir.
- Kaynaklardan çekilen akım ise kare dalga formatında olup  $120^\circ$  faz farklıdır.



# |V – AC/DC DÖNÜŞTÜRÜCÜLER

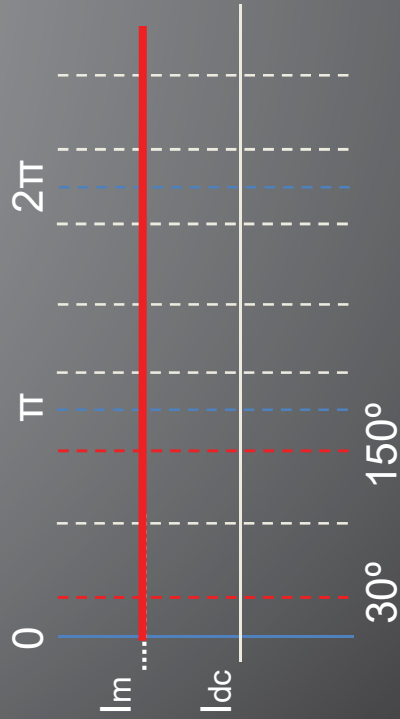
- Çıkış geriliminin ortalama değeri ( $V_{dc}$ );
- 3 fazlı yarım dalgı kontrolsuz doğrultucunun endüktif yükteki çıkış gerilim dalga şekli aşağıdağı Şekil-4.84'de görüldüğü gibi olduğunu belirtmişlik. Bu durumda gerilimin ortalama değeri yan taraftaki gibi bulunabilecektir.

$$V_{dc} = \frac{1}{T} \int_0^T v_o(t) dt$$
$$V_{dc} = \frac{1}{2\pi/3} \int_{\pi/6}^{5\pi/6} V_m \sin \omega t \cdot d(\omega t)$$
$$V_{dc} = \frac{3}{2\pi} \int_{\pi/6}^{5\pi/6} V_m \sin \omega t \cdot d(\omega t)$$
$$V_{dc} = \frac{3 \cdot V_m}{2\pi} (-\cos \omega t) \Big|_{\pi/6}^{5\pi/6}$$
$$V_{dc} = \frac{3 \cdot V_m}{2\pi} [ -(\cos(5\pi/6) - \cos(\pi/6)) ]$$
$$V_{dc} = \frac{3 \cdot V_m}{2\pi} [ -(-0,866 - 0,866) ] = \frac{3 \cdot V_m}{2\pi} \cdot 1,732$$
$$V_{dc} = \frac{3\sqrt{3} \cdot V_m}{2\pi} = 0,827 \cdot V_m$$



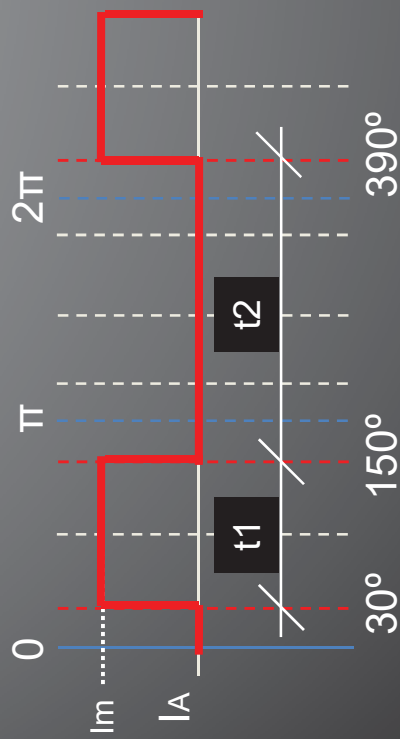
## IV – AC/DC DÖNÜŞTÜRÜCÜLER

- Çıkış akımının ortalama değeri ( $I_{dc}$ );
- 3 fazlı yarımlı dalgı kontrolsuz doğrultucunun endüktif yükteki çıkış akımı dalgı şekli aşağıda Şekil-4.85'de görüldüğü gibi olduğunu belirtmişlik. Bu durumda akımın ortalama değeri yan tarafındaki gibi bulunabilecektir.
- Burada yük çok endüktif kabul edilerek çıkış akımı da tamamen düz kabul edilmiştir.
- Bu akım her 120 derecede devreye giren fazlara alt diyonlar üzerinden sağlanmakta olup serbest geçiş diyoduna ihtiyaç kalmaktadır.
- Bu nedenle serbest geçiş diyodu kullanılmıştır.
- Bu durumda akımın ortalama değeri, etkin değeri, ani değeri tepsedeğere eşit olacaktır.
- $I_{dc} = I_m = V_m / Z$  olacaktır.



# IV – AC/DC DÖNÜŞTÜRÜCÜLER

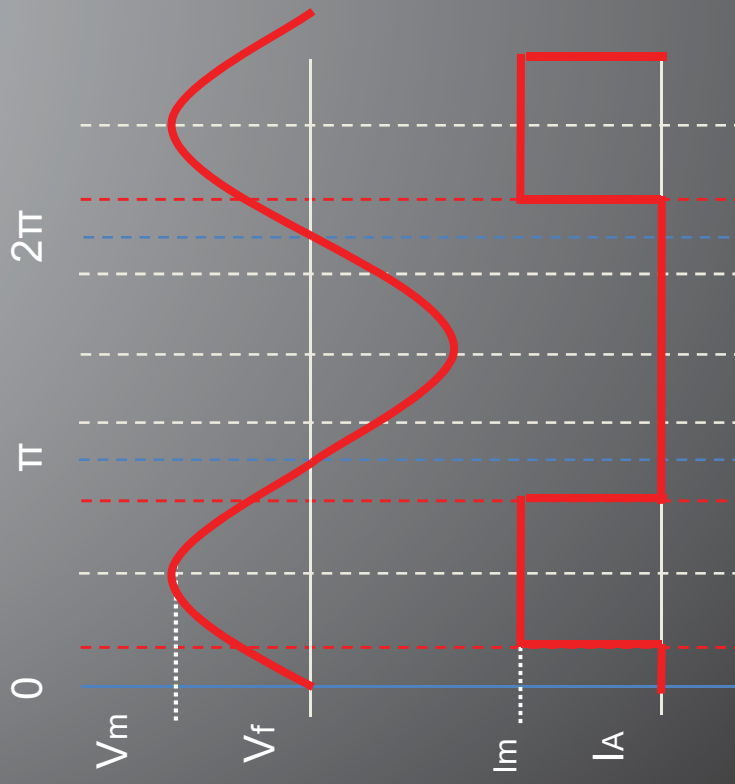
- Ortalama çıkış gücü ( $P_{dc}$ );  
 $P_{dc} = I_{dc} \cdot V_{dc}$  ‘den bulunabilir.
- Kaynak akımının etkin değeri ( $|A_{(rms)}|$ );  
Kaynağın bir fazından çekilen akım Şekil-4.85’de görülmekte olup bu akımın etkin değeri yandaki gibi bulunabilecektir.
- Şekil-4.85’de verilen şeke göre kaynak akımını “ $|m$ ” tepe değerli kare dalga formatında bir akım olduğu görülmektedir. Buna göre akımın etkin değeri,
- $|A_{(rms)}| = |m| \cdot \sqrt{k}$  eşitliğinden bulunabilecektir. Burada etkin peryot ( $k$ ),  
 $k = t_1 / (t_1 + t_2)$ ‘den bulunacaktır.



- 5) Kaynaktan çekilen toplam etkin güç ( $P_{S(rms)}$ );  
 $P_{A(rms)} = |A_{(rms)}| \cdot V_{f(rms)}$
- Üç fazdan çekilen toplam güç;  
 $P_{S(rms)} = 3 \cdot P_{A(rms)}$

# IV – AC/DC DÖNÜŞTÜRÜCÜLER

- Devrenin güç katsayısı ( $\cos\phi$ );  
Kaynağının bir fazından çekilen akım ve ilgili faz gerilimi Şekil-4.86'da görülmektedir.



- Sekil-4.86'da verilen şeke  
gere kaynak akımı, kaynağın  
sadece pozitif alternanslarında  
çekildiği için dengesiz ve güç  
katsayı da belirsizdir.

- Anahtar (diyot) akımı ( $I_D$ );  
Anahtarlar (diyot) akımı dalgı  
şekili Şekil-4.87'deki gibidir. Bu  
şekle göre anahtarlar akımı;  
 $I_D = I_m + (\%30 \cdot I_m) = 1,3 \cdot V_m / R$

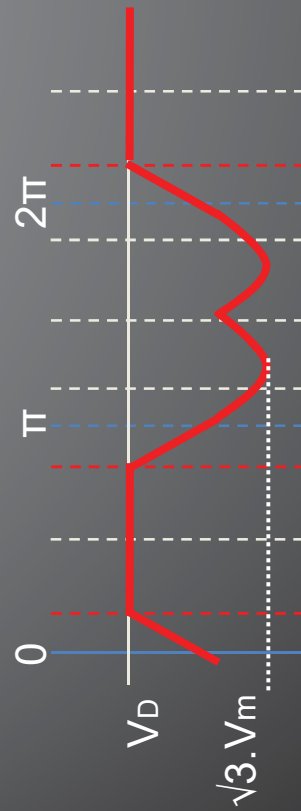


# IV – AC/DC DÖNÜŞTÜRÜCÜLER

- Anahtar gerilimi (V<sub>D</sub>);  
Anahtar gerilimi aşağıdaki gibi  
Şekil-4.88'de görülmektedir.  
Görüldüğü gibi anahtar üzerine  
doğrudan kaynağın hat gerilimi  
gelmektedir. Bu durumda  
anahtar gerilimi, hat gerilimi  
tepe değerinin ( $\sqrt{3} \cdot V_m$ ) en az  
%30 daha fazlası olmalıdır.

$$V_D = \sqrt{3} \cdot V_m + \%30$$

$$V_D = \sqrt{3} \cdot V_m \cdot 1,3 \text{ olur.}$$



## Örnek:

- 220V/380V-50Hz şebekede  
çalıştırılan 3 fazlı yarım dalga  
kontrolsuz doğrultucu,
  - a)  $10\Omega$ 'luk rezistif bir yükü  
beslediğinde oluşacak tüm  
devre parametrelerini,
  - b)  $10\Omega$ 'luk endüktif bir yükü  
beslediğinde oluşacak tüm  
devre parametrelerini  
hesaplayınız.

## Çözüm:

- a) Rezistif yükte çıkış  
geriliminin ortalama değeri,
  - $V_{dc} = 0,827 \cdot V_m$  'den

# IV – AC/DC DÖNÜŞTÜRÜCÜLER

$$V_m = V_{rms} \cdot \sqrt{2} = 220 \cdot \sqrt{2} = 311V$$

$$V_{dc} = 0,827 \cdot 311$$

$$V_{dc} = 257,19V$$

Çıktı akımı ortalama değeri,

$$I_{dc} = V_{dc} / R = 257,19 / 10$$

$$I_{dc} = 25,72A$$

Ortalama çıkış gücü,

$$P_{dc} = I_{dc} \cdot V_{dc}$$

$$P_{dc} = 25,72 \cdot 257,19 = 6,61kW$$

Kaynak akımının etkin değeri,

$$|A(rms)| = I_m \cdot \sqrt{k}$$

$$|A(rms)| = V_m / R \cdot \sqrt{[t_1 / (t_1 + t_2)]}$$

$$|A(rms)| = 311 / 10 \cdot \sqrt{(6,66ms / 20ms)}$$

$$|A(rms)| = 17,94A$$

- Rezistif yükte kaynaktan çekilen etkin güç,

$$P_{S(rms)} = 3 \cdot I_{S(rms)} \cdot V_{S(rms)}$$

$$P_{S(rms)} = 3 \cdot 17,94 \cdot 220 = 11,84kW$$

- Rezistif yükte anahtar (diyot)

gerilimi,

$$V_D \geq \sqrt{3} \cdot V_m + \%30$$

$$V_D \geq \sqrt{3} \cdot 311 \cdot 1,3 \geq 700V$$

- Rezistif yükte anahtar (diyot)

akımı,

$$I_D \geq I_m + \%30$$

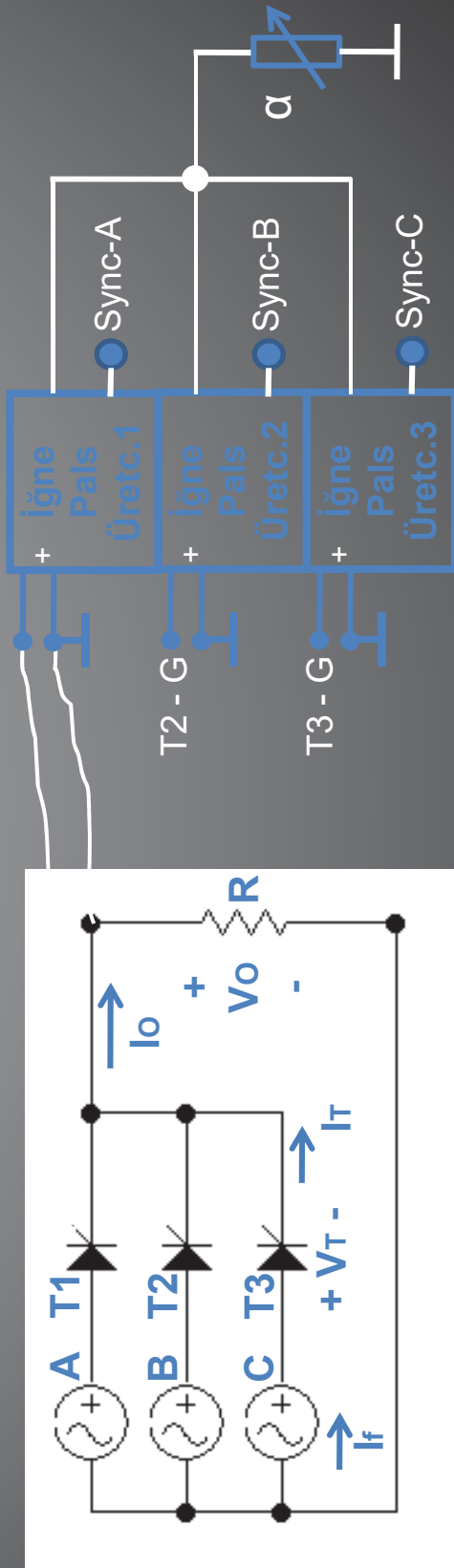
$$I_D \geq 31,1 \cdot 1,3 \geq 40A$$

# |V - AC/DC DÖNÜŞTÜRÜCÜLER

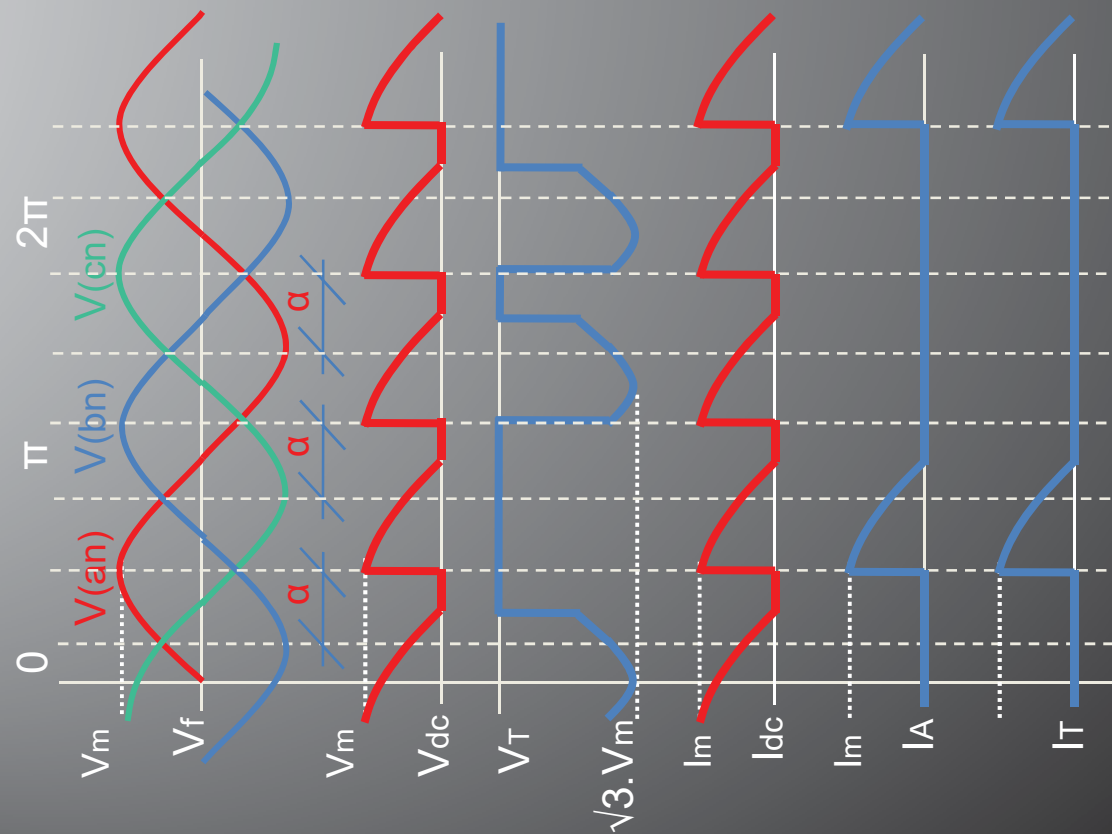
- b) Endüktif yükte çıkış geriliminin ortalama değeri,  
 $V_m = V_{rms} \cdot \sqrt{2} = 220 \cdot \sqrt{2} = 311V$   
 $V_{dc} = 0,827 \cdot 311 = 257,19V$
- Çıkış akımı ortalama değeri,  
 $I_{dc} = I_m = V_m/Z = 311 / 10 = 31,1A$
- Ortalama çıkış gücü,  
 $P_{dc} = I_{dc} \cdot V_{dc}$   
 $P_{dc} = 31,1 \cdot 257,19 = 7,99kW$
- Kaynak akımının etkin değeri,  
 $|A_{(rms)}| = |I_m| \cdot \sqrt{k}$   
 $|A_{(rms)}| = V_m/Z \cdot \sqrt{[t1/(t1+t2)]}$   
 $|A_{(rms)}| = 311/10 \cdot \sqrt{(6,66ms / 20ms)}$   
 $|A_{(rms)}| = 17,94A$
- Endüktif yükte kaynaktan çekilen etkin güç,  
 $P_{S(rms)} = 3 \cdot |I_{S(rms)}| \cdot V_{S(rms)}$   
 $P_{S(rms)} = 3 \cdot 17,94 \cdot 220 = 11,84kW$
- Endüktif yükte anahtar (diyot)  
gerilimi,  
 $V_D \geq \sqrt{3} \cdot V_m + \%30$   
 $V_D \geq \sqrt{3} \cdot 311 \cdot 1,3 \geq 700V$
- Endüktif yükte anahtar (diyot)  
akımı,  
 $I_D \geq |I_m| + \%30$   
 $I_D \geq 31,1 \cdot 1,3 \geq 40A$

# IV – AC/DC DÖNÜŞTÜRÜCÜLER

- 3 fazlı yarıم dalga kontrollü doğrultucu (rezistif yükte);
- 3 fazlı yarım dalga kontrollü doğrultucu devre bağlantısı saf rezistif yükte çalışma için aşağıdaki Sekil-4.89'da gösterilmiştir. Sekilden görüldüğü gibi her fazın pozitif alternansı ayrı bir tristör tarafından kontrol edilmektedir.
- Şekil-4.89'da görülen devredeki tristörleri kontrol etmek için ise aşağıdaki Sekil-229'da görüldüğü gibi 3 fazlı bir uyarma devresine ihtiyaç duyulmaktadır.
- Şekil-4.90'da ise devrenin çalışmasını gösteren dalga şekilleri verilmiştir.



# IV – AC/DC DÖNÜŞTÜRÜCÜLER



- Şekil-4.90'daki temel dalgaların şekillerinden görüldüğü gibi, her bir triştör kendi fazının pozitif alternansında ilk  $30^\circ$ 'den sonra kontrol edilmeye başlanmakta ve bu kontrol alternans sonuna kadar devam edebilmektedir.
- Devre faz gerilimlerini doğrultmakta fakat devredeki triştörler üzerine çalışma sırasında darbeler halinde hat geriliği gelmektedir.
- Yük rezistif olduğu için çıkış akımının dalga şekli, çıkış geriliminin şekliyle tamamen aynıdır.

# IV – AC/DC DÖNÜŞTÜRÜCÜLER

- Çıkış geriliminin ortalama değeri ( $V_{dc}$ );

□ 3 fazlı yarım dalgı kontrollü doğrultucunun rezistif yükteki çıkış gerilim dalga şekli aşağıda Şekil-4.91'de görüldüğü gibi olduğunu belirtmişlik. Bu durumda gerilimin ortalama değeri yan taraftaki gibi bulunabilecektir.

$$\alpha \geq 30^\circ \text{ için}$$

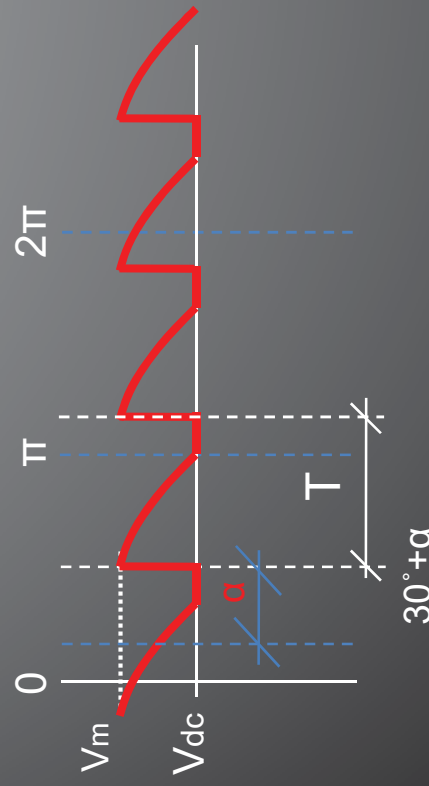
$$V_{dc} = \frac{1}{T} \int_0^T v_o(t) dt$$

$$V_{dc} = \frac{1}{2\pi/3} \int_{\pi/6+\alpha}^{\pi} V_m \cdot \sin(\omega t) d(\omega t)$$

$$V_{dc} = \frac{3 \cdot V_m}{2\pi} \int_{\pi/6+\alpha}^{\pi} \sin(\omega t) d(\omega t)$$

$$V_{dc} = \frac{3 \cdot V_m}{2\pi} [-\cos(\omega t)]_{\pi/6+\alpha}^{\pi}$$

$$V_{dc} = \frac{3 \cdot V_m}{2\pi} [-\cos \pi + \cos(\pi/6 + \alpha)]$$



# IV – AC/DC DÖNÜŞTÜRÜCÜLER

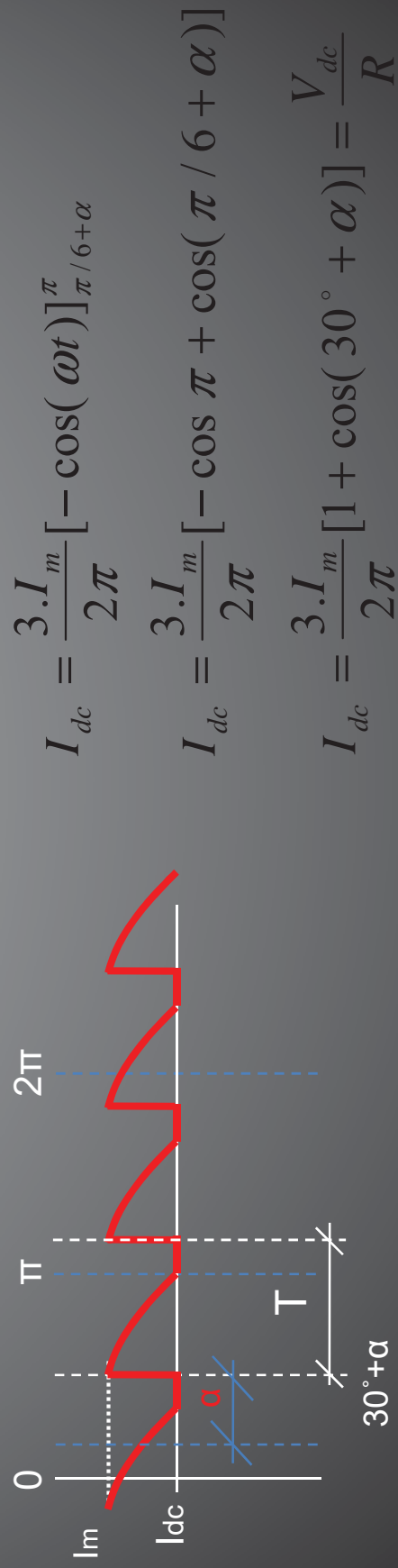
- Çıkış akımının ortalama değeri  $\alpha \geq 30^\circ$  için  $(I_{dc})$ ;

□ 3 fazlı yarıyıl dalgı kontrollü doğrultucunun rezistif yükteki çıkış akımının dalgı şekli aşağıdağı Şekil-4.92'de görüldüğü gibi olduğunu belirtmişlik. Bu durumda akımın ortalama değeri yan tarafındaki gibi bulunabilecektir.

$$I_{dc} = \frac{1}{T} \int_0^T i_o(t) dt$$

$$I_{dc} = \frac{1}{2\pi/3} \int_{\pi/6+\alpha}^{\pi} I_m \cdot \sin(\omega t) d(\omega t)$$

$$I_{dc} = \frac{3 \cdot I_m}{2\pi} \int_{\pi/6+\alpha}^{\pi} \sin(\omega t) d(\omega t)$$

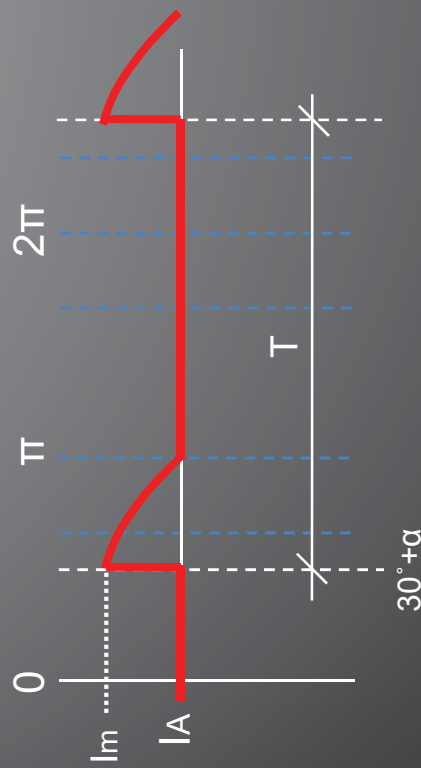


# IV – AC/DC DÖNÜŞTÜRÜCÜLER

- Ortalama çıkış gücü ( $P_{dc}$ );  
 $P_{dc} = I_{dc} \cdot V_{dc}$  ‘den bulunabilir.

$$I_{A(rms)} = \sqrt{\frac{1}{T} \int_0^T [i_s(t)]^2 \cdot dt}$$
$$I_{A(rms)} = \sqrt{\frac{1}{2\pi} \int_0^{2\pi} [I_m \cdot \sin(\omega t)]^2 \cdot d(\omega t)}$$
$$I_{A(rms)} = \sqrt{\frac{I_m^2}{2\pi} \int_{\pi/6+\alpha}^{\pi} \sin^2(\omega t) \cdot d(\omega t)}$$
$$I_{A(rms)} = \sqrt{\frac{I_m^2}{2\pi} \left[ \frac{\omega t}{2} - \frac{\sin(2\omega t)}{4} \right]_{\pi/6+\alpha}^{\pi}}$$
$$I_{A(rms)} = \frac{I_m}{2} \sqrt{\frac{5}{6} - \frac{\alpha}{\pi} + \frac{\sin(\pi/3+2\alpha)}{2\pi}}$$

Kaynağın bir fazından çekilen akım Şekil-4.93’da görülmekte olup bu akımın etkin değeri yandaki gibi bulunabilecektir.



Kaynaktan çekilen toplam etkin güç ( $P_{S(rms)}$ );

$$P_{A(rms)} = |A_{(rms)}| \cdot V_{f(rms)}$$

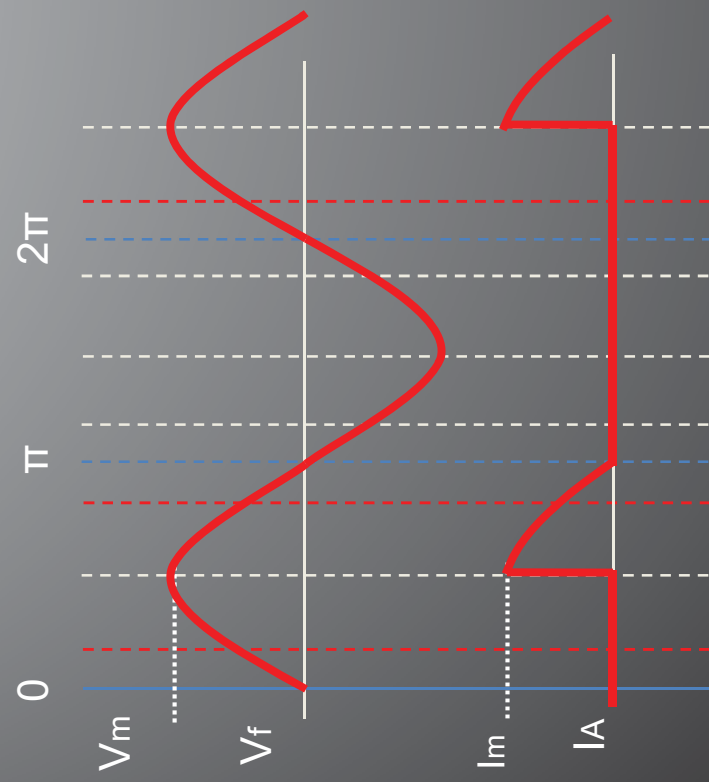
Üç fazdan çekilen toplam güç;

$$P_{S(rms)} = 3 \cdot P_{A(rms)}$$

# IV – AC/DC DÖNÜŞTÜRÜCÜLER

- Devrenin güç katsayısı ( $\cos\phi$ );

Kaynağın bir fazından çekilen akım ve ilgili faz gerilimi Şekil-4.94'de görülmektedir.



- Şekil-4.94'de verilen şeke göre kaynak akımı, kaynağın sadece pozitif alternanslarında çekildiği için dengesiz ve güç katsayıları da belirsizdir.

- Anahtar (tristör) akımı ( $I_T$ );  
Anahtar (tristör) akımı dalga şekli Şekil-4.95'deki gibidir. Bu şeke göre anahtar akımı;

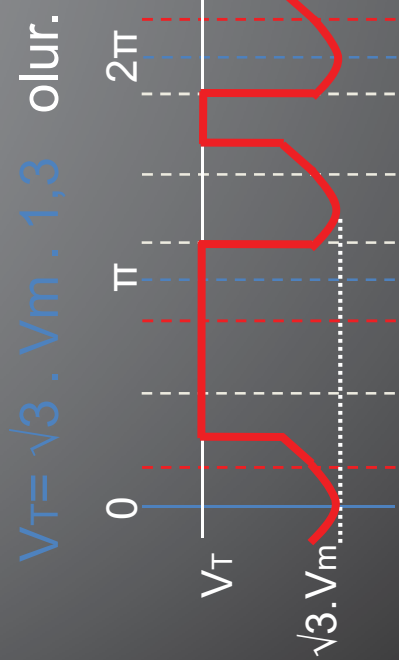
$$I_T = I_m + (\%30 \cdot I_m) = 1,3 \cdot V_m / R$$



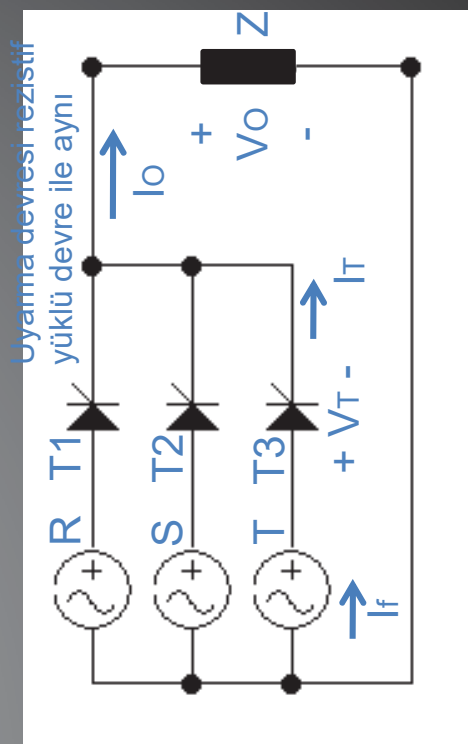
# IV – AC/DC DÖNÜŞTÜRÜCÜLER

- Anahtar (trist.) gerilimi ( $V_T$ ); Anahtar gerilimi aşağıdaki gibi görülmektedir. Sekil-4.96'da anahtar anahtar üzerine doğrudan kaynağın hat gerilimi gelmektedir. Bu durumda anahtar gerilimi, hat gerilimi tepe değerinin ( $\sqrt{3} \cdot V_m$ ) en az %30 daha fazlası olmalıdır.

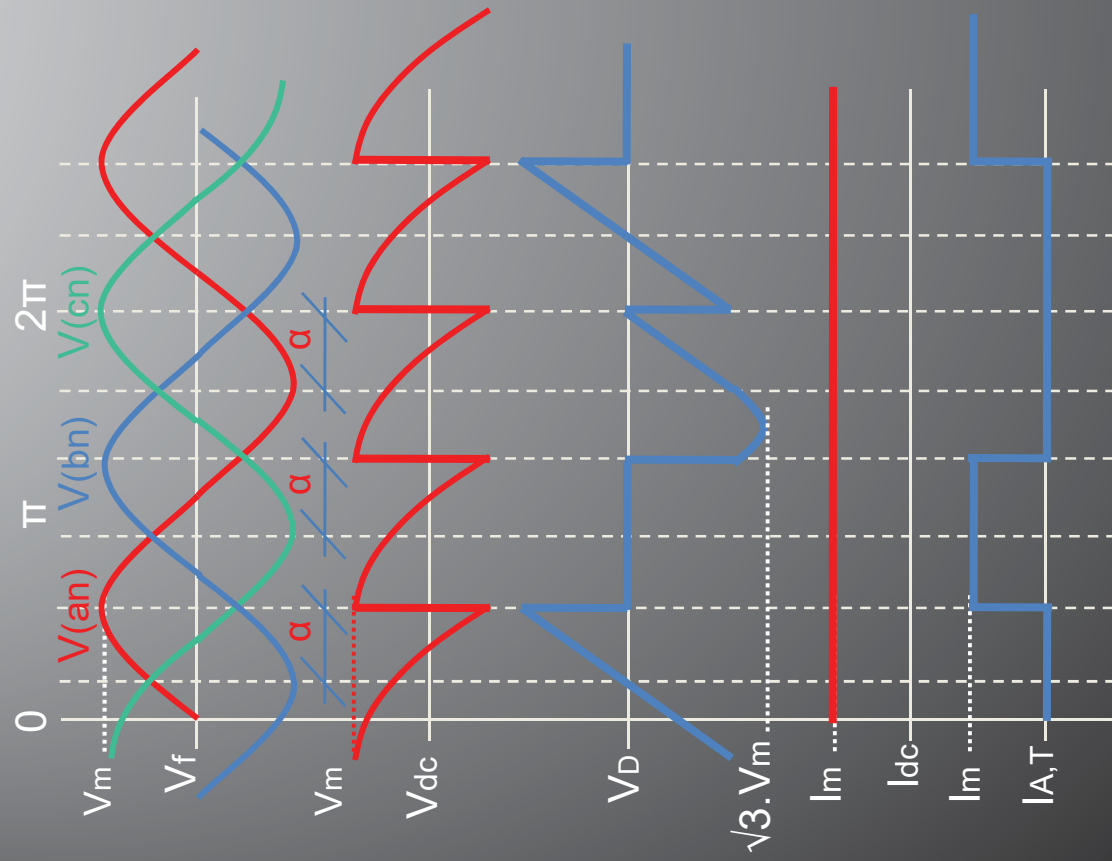
$$V_T = \sqrt{3} \cdot V_m + \%30$$



- 3 fazlı yarım dalga kontrollu doğrultucu (endüktif yükte);
- 3 fazlı yarım dalga kontrollu doğrultucu devre bağlantısı endüktif yük için Sekil-4.97'de gösterilmiştir. Şekilden görüldüğü gibi yüke ters paralel bir serbest geçiş diyodu bağlanmıştır.
- Sekil-4.98'de ise devreye ait temel dalga şekilleri görülmektedir.



# IV – AC/DC DÖNÜŞTÜRÜCÜLER

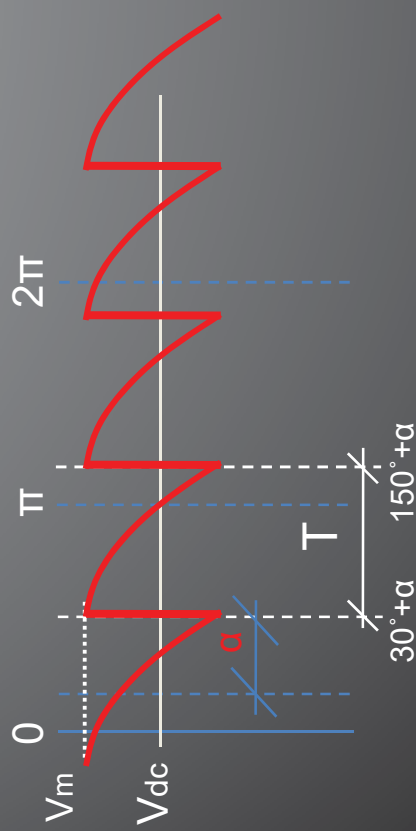


- Şekil-4.98'deki temel dalgası Şekillerinden görüldüğü gibi, çok endüktif yükte her bir tristör yine kendi fazının pozitif alternansında ilk  $30^\circ$ 'den sonra kontrol edilmeye başlanmakta ve bu iletim diğer tristör uyarılana kadar sürmektedir.
- Şekilden görüldüğü gibi, çıkış akımı tamamen düz kabul edilmiştir. Serbest geçiş diyoduna gerek kalmaksızın her bir tristör diğerini uyarılana kadar iletimde kalarak bu devamlılığı sağlamaktadır.
- Devre çıkışına serbest geçiş diyodu bağlanacak olursa, çıkış geriliminin negatif geçişleri kesilecektir.

# IV – AC/DC DÖNÜŞTÜRÜCÜLER

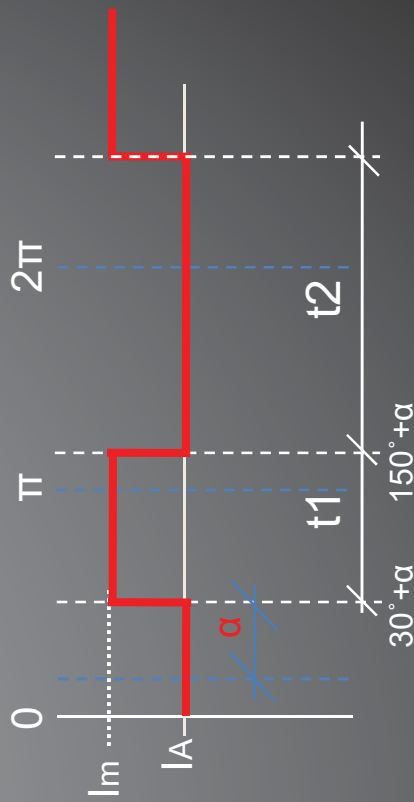
- Çıkış geriliminin ortalama değeri ( $V_{dc}$ );
- 3 fazlı yarım dalgı kontrollü doğrultucunun endüktif yükteki çıkış gerilim dalga şekli aşağıda Şekil-4.99'da görüldüğü gibi olduğunu belirtmişlik. Bu durumda gerilimin ortalama değeri yan tarafındaki gibi bulunabilecektir.

$$V_{dc} = \frac{1}{2\pi/3} \int_{\pi/6+\alpha}^{5\pi/6+\alpha} V_m \cdot \sin(\omega t) \cdot d(\omega t)$$
$$V_{dc} = \frac{3 \cdot V_m}{2\pi} \int_{\pi/6+\alpha}^{5\pi/6+\alpha} \sin(\omega t) \cdot d(\omega t)$$
$$V_{dc} = \frac{3 \cdot V_m}{2\pi} [-\cos(\omega t)]_{\pi/6+\alpha}^{5\pi/6+\alpha}$$
$$V_{dc} = \frac{3 \cdot V_m}{2\pi} [ -\cos(5\pi/6 + \alpha) + \cos(\pi/6 + \alpha) ]$$
$$V_{dc} = \frac{3 \cdot V_m}{2\pi} [ -(\cos 150^\circ \cdot \cos \alpha - \sin 150^\circ \cdot \sin \alpha) ]$$
$$V_{dc} = \frac{3 \cdot V_m}{2\pi} 1,73 \cdot \cos \alpha = \frac{3 \cdot \sqrt{3} \cdot V_m}{2\pi} \cos \alpha$$



# IV – AC/DC DÖNÜŞTÜRÜCÜLER

- Çıkış akımının ortalama değeri  $I_{dc}$ ;
- 3 fazlı yarımlı dalgıç kontrolü doğrultucunun endüktif yükteki çıkış akımının dalgıç şekli aşağıdağı Şekil-4.100'de görüldüğü gibi olduğunu belirtmişlik. Bu durumda akımın ortalama değeri,  
 $I_{dc} = I_m = V_m / Z$
- Ortalama çıkış gücü ( $P_{dc}$ );  
 $P_{dc} = I_{dc} \cdot V_{dc}$  ‘den bulunabilir.
- Kaynak akımının etkin değeri ( $|I_{A(ms)}$ );  
Kaynağın bir fazından çekilen akım Şekil-4.101'de görülmekte olup, etkin değeri etkin peryoda göre bulunabilir.



eşitliğinden bulunabilecektir.



# IV – AC/DC DÖNÜŞTÜRÜCÜLER

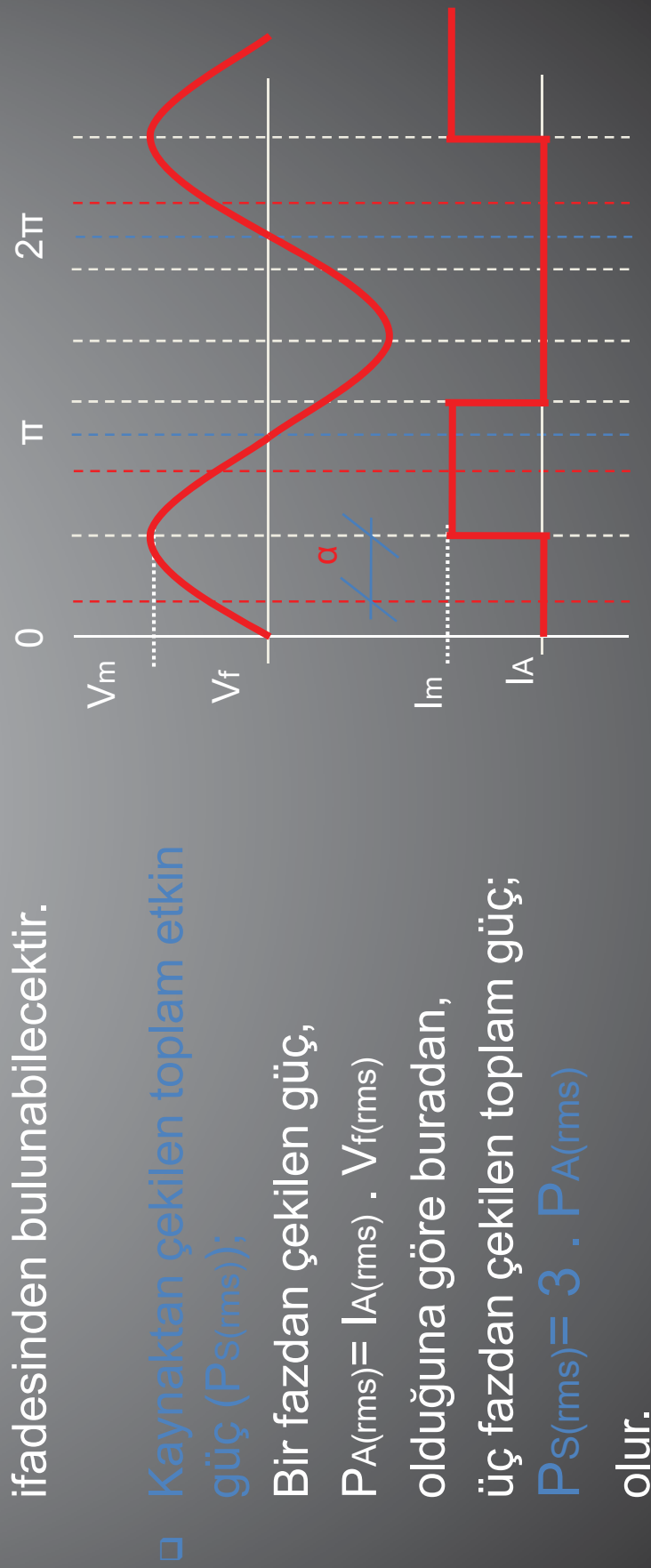
Şekil-4.101'e göre, kaynak akımının etkin peryodu,  
 $k = t_1 / (t_1 + t_2)$

Buradan akımın etkin değeri,  
 $I_{A(rms)} = I_m \cdot \sqrt{k}$

İfadelerinden bulunabilecektir.

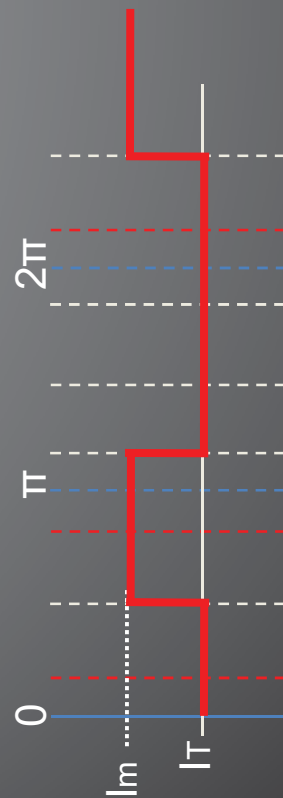
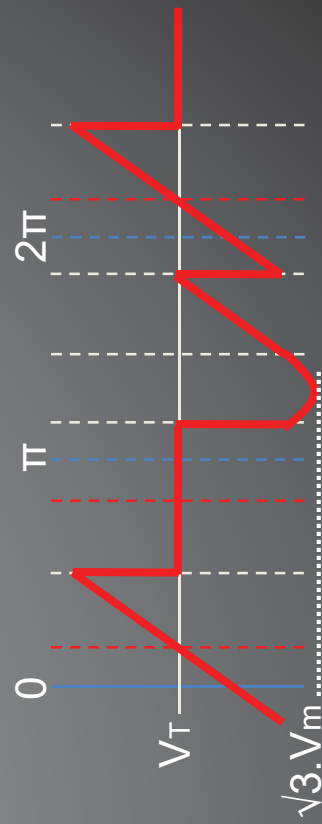
- Devrenin güç katsayısı ( $\cos\phi$ );

Kaynağın bir fazından çekilen akım ve ilgili faz gerilimi Şekil-4.102'de görülmektedir.



# IV – AC/DC DÖNÜŞTÜRÜCÜLER

- Şekil-4.102'de verilen şekle göre kaynak akımı, kaynaktan sadece tek yönlü olarak (pozitif yönde) çekildiği için dengesiz ve güç katsayısı da belirsizdir.
- 8) Anahtar (tristör) akımı ( $I_T$ ); Anahtar (tristör) akımı dalga şekli Şekil-4.103'deki gibidir. Bu şekle göre anahtar akımı;
$$I_T = I_m + (\%30 \cdot I_m) = 1,3 \cdot V_m / R$$
- 9) Anahtar (trist.) gerilimi ( $V_T$ ); Anahtar gerilimi aşağıdaki Şekil-4.104'de görülmektedir. Görüldüğü gibi anahtar üzerine doğrudan kaynağın hat gerilimi gelmektedir. Bu durumda anahtar gerilimi, hat gerilimi tepe değerinin ( $\sqrt{3} \cdot V_m$ ) en az %30 daha fazlası olmalıdır.
$$V_T = \sqrt{3} \cdot V_m + \%30$$



## IV – AC/DC DÖNÜŞTÜRÜCÜLER

- Üç fazlı yarım dalga kontrollü doğrultucunun rezistif ve tam endüktif yükler altında çalıştırılmasında yapılan analizlerde her bir güç elemanının 360 derecelik bir peryot içinde 120'şer derece çalıştığı, 240 derece ise yalıtmada kaldığı görülmüştür.
- Bu çalışma sırasında her bir elemandan faz akımı akmakta ve her bir eleman hat gerilimine dayanmak zorunda kalmaktadır.
- Kaynaktan çekilen akım tek yönlü olduğu için dengesizdir.
- **Örnek:**
  - 220V/380V-50Hz şebekede  $90^\circ$  uyarmada çalıştırılan 3 fazlı yarım dalga kontrollü doğrultucu,
    - a)  $10\Omega$ 'luk rezistif bir yükü beslediğinde oluşacak tüm devre parametrelerini,
    - b)  $10\Omega$ 'luk endüktif bir yükü beslediğinde oluşacak tüm devre parametrelerini hesaplayınız.
  - **Çözüm:**
    - a) Rezistif yükte çıkış geriliminin ortalama değeri,
$$V_{dc} = \frac{3 \cdot V_m}{2\pi} [1 + \cos(30^\circ + \alpha)]$$

# |V - AC/DC DÖNÜŞTÜRÜCÜLER

- $V_m = V_{rms} \cdot \sqrt{2} = 220 \cdot \sqrt{2} = 311V$
- $V_{dc} = 3,311/6,28 \cdot (1 + \cos 120^\circ)$   
 $V_{dc} = 74,28V$
- Çıkış akımı ortalama değeri,  
 $I_{dc} = V_{dc} / R = 74,28 / 10$   
 $I_{dc} = 7,42A$
- Ortalama çıkış gücü,  
 $P_{dc} = I_{dc} \cdot V_{dc}$   
 $P_{dc} = 7,42 \cdot 74,28 = 551,15W$
- Kaynak akımının etkin değeri,  
  - Rezistif yükte kaynaktan çekilen etkin güç,  
 $P_{S(rms)} = 3 \cdot I_{S(rms)} \cdot V_{S(rms)}$   
 $P_{S(rms)} = 3,6,9 \cdot 220 = 4,55kW$
  - Rezistif yükte anahtar (tristör) gerilimi,  
 $V_D \geq \sqrt{3} \cdot V_m + \%30$   
 $V_D \geq \sqrt{3} \cdot 311 \cdot 1,3 \geq 700V$
  - Rezistif yükte anahtar (tristör) akımı,  
 $I_D \geq I_m + \%30$   
 $I_D \geq 31,1 \cdot 1,3 \geq 40A$

# |V - AC/DC DÖNÜŞTÜRÜCÜLER

- b) Çok endüktif yükte çıkış geriliminin ortalama değeri,  
 $V_m = V_{rms} \cdot \sqrt{2} = 220 \cdot \sqrt{2} = 311V$   
 $V_{dc} = (3 \cdot \sqrt{3} \cdot V_m / 2\pi) \cdot \cos\alpha$   
 $V_{dc} = 257 \cdot \cos 90^\circ = 0V$
- Çıkış akımı ortalama değeri,  
 $I_{dc} = I_m = V_m/Z = 311 / 10 = 31,1A$
- Ortalama çıkış gücü,  
 $P_{dc} = I_{dc} \cdot V_{dc}$   
 $P_{dc} = 31,1 \cdot 0 = 0W$   
(ani değer).
- Endüktif yükte anahtar (tristör)
  - Endüktif yükten etkin güç, çekilen etkin güç,  
 $P_{S(rms)} = 3 \cdot I_{S(rms)} \cdot V_{S(rms)}$   
 $P_{S(rms)} = 3 \cdot 17,94 \cdot 220 = 11,84kW$
  - Endüktif yükte anahtar (tristör)
    - Ortalama çıkış gücü, gerilimi,  
 $V_D \geq \sqrt{3} \cdot V_m + \%30$   
 $V_D \geq \sqrt{3} \cdot 311 \cdot 1,3 \geq 700V$
    - Kaynak akımının etkin değeri, akımı,  
 $I_A(rms) = I_m \cdot \sqrt{k}$   
 $I_A(rms) = V_m / Z \cdot \sqrt{[t_1/(t_1+t_2)]}$   
 $I_A(rms) = 311/10 \cdot \sqrt{(6,66ms / 20ms)}$   
 $I_A(rms) = 17,94A$

## ÖDEV-9

9.1) 380V/220V-50Hz şebekede  $19\Omega$ 'luk saf rezistif bir yükü besleyen 3 fazlı yarım dalga kontrolsuz doğrultucunun,

a) Devre şemasını tam olarak çiziniz, akım ve gerilim yönlerini devre üzerinde gösteriniz.

- b) Devrenin temel dalga şekillerini değerleriyle birlikte çiziniz.  
c) Çizilen dalga şekillerine göre temel parametreleri hesaplayınız.

9.2) 380V/220V-50Hz şebekede,  $60^\circ$  uyarma açısından,  $22\Omega$ 'luk rezistif bir yükü besleyen 3 fazlı yarım dalga kontrollu doğrultucunun,

a) Devre şmasasını tam olarak çiziniz, akım ve gerilim yönlerini devre üzerinde gösteriniz.

- b) Devrenin temel dalga şekillerini değerleriyle birlikte çiziniz.  
c) Çizilen dalga şekillerine göre temel parametreleri hesaplayınız.

# Quiz-1

A grubu:

220V/50Hz şebekede,  $5\Omega$  çok endüktif yükü besleyen bir fazlı tam dalga tam kontrollu doğrultucu devresini ve  $60^\circ$  çalışma açısı için giriş-çıkış gerilim dalgası şekillerini çiziniz.

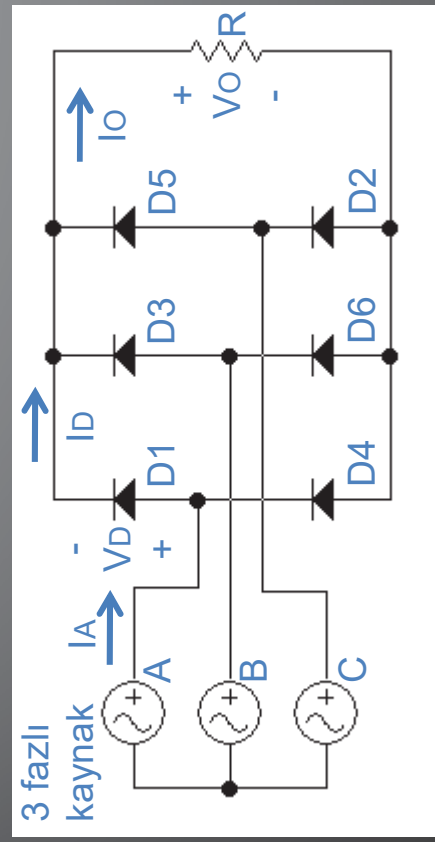
B grubu:

220V/380V-50Hz şebekede,  $15\Omega$  rezistif yükü besleyen üç fazlı yarımlı dalgası kontrollu doğrultucu devresini ve  $60^\circ$  çalışma açısı için giriş-çıkış gerilim dalgası şekillerini çiziniz.

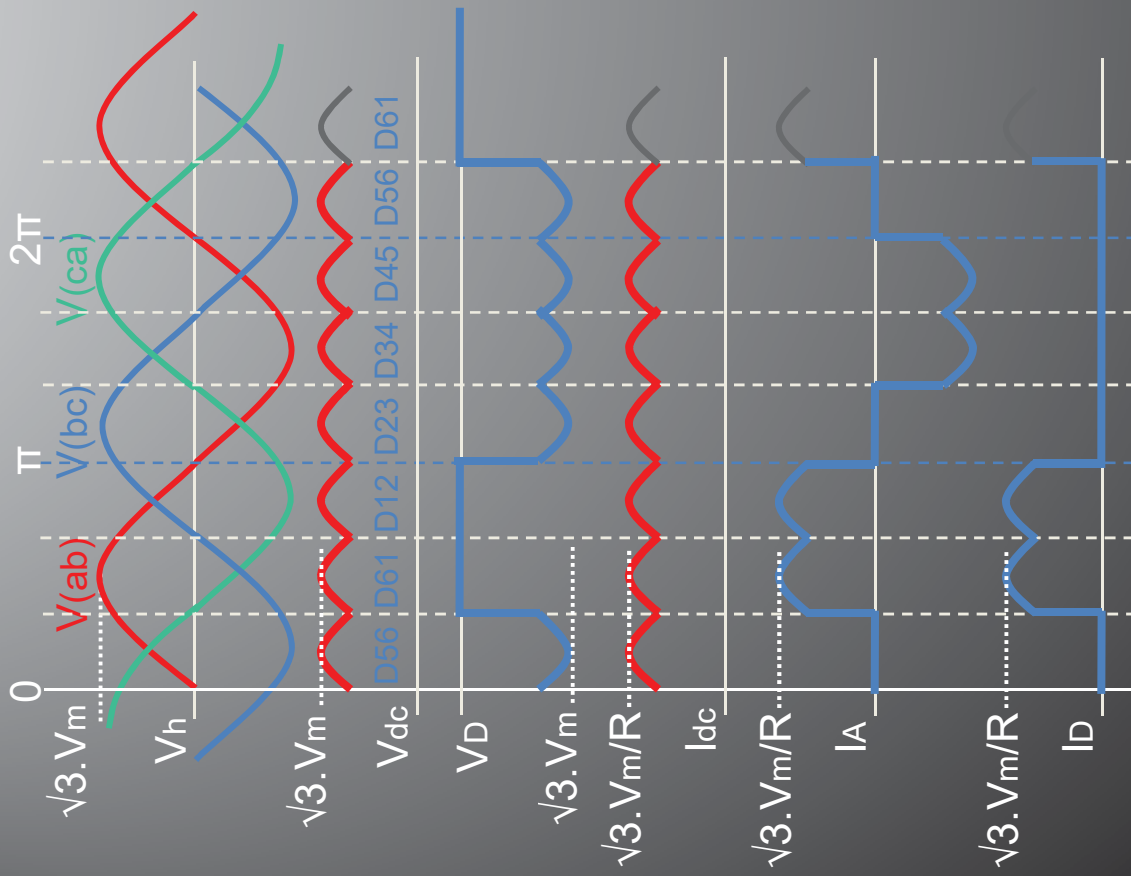
# IV – AC/DC DÖNÜŞTÜRÜCÜLER

- 3 fazlı tam dalga kontrolsuz köprü doğrultucu (rezistif yük);
- 3 fazlı tam dalga kontrolsuz doğrultucu bağlantısı rezistif yükte çalışma için Şekil-4.105'de gösterilmiştir. Şekilden görüldüğü gibi kaynağın nötr (N) ucu çıkışta kullanılmış sadece 3 fazın canlı uçları kullanılmıştır. Bu durumda köprü hat gerilimlerini doğrultur.

- Köprüdeki diyotlardan D1 ve D4, A fazına bağlanmış olup, D1 pozitif, D4 ise negatif alternansı iletmekle görevlendirilmiştir. Aynı şekilde D3 ve D6 diyotları B fazının pozitif ve negatif alternanslarını, D5 ve D2 diyotları ise C fazının pozitif ve negatif alternanslarını iletmektedirler.
- Diyotlara verilen bu numaralar standarttır ve asla değiştirilmmez, çünkü bu numaralar 120 derece faz farklı 3 fazlı gerilim altında çalışma sırasında köprüdeki diyotların iletme geçme sırasını ifade etmektedir.
- Devreye ait dalgı şekilleri Şekil-4.106'da ayrıntılı olarak verilmiştir.



# IV – AC/DC DÖNÜŞTÜRÜCÜLER



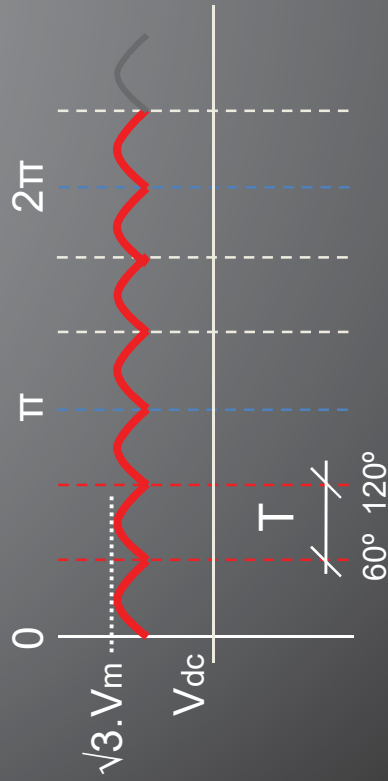
- Yan taraftaki dalga temel şekillerinden görülebileceği gibi, tam dalga doğrultma yapılması halinde filtreleme kullanılmamasına rağmen her 3 faz gerilimi arasındaki her 120° lik faz kaymalarından dolayı çıkış gerilimi çok düzgün bir şekilde oluşmuştur.
- Devrenin hat gerilimlerini doğrulttuğu görülmektedir. Her bir diyon 120 derece iletimde kalmakta fakat 60 derecede bir eş değiştirmektedir.
- Kaynaklardan çekilen akım ise AC kare dalga formatında olup 120° faz farklıdır.

# IV – AC/DC DÖNÜŞTÜRÜCÜLER

- Çıkış geriliminin ortalama değeri ( $V_{dc}$ );

□ 3 fazlı kontrolsuz köprü doğrultucunun rezistif yükteki çıkış gerilim dalga şekli aşağıda Şekil-4.107'de görüldüğü gibi olduğunu belirtmişlik. Bu durumda gerilimin ortalama değeri yan tarafındaki gibi bulunabilecektir.

$$V_{dc} = \frac{1}{T} \int_0^T v_o(t) dt$$
$$V_{dc} = \frac{1}{\pi/3} \int_{\pi/3}^{2\pi/3} \sqrt{3} V_m \sin \omega t \cdot d(\omega t)$$
$$V_{dc} = \frac{3}{\pi} \int_{\pi/3}^{2\pi/3} \sqrt{3} V_m \sin \omega t \cdot d(\omega t)$$
$$V_{dc} = \frac{3\sqrt{3} V_m}{\pi} (-\cos \omega t) \Big|_{\pi/3}^{2\pi/3}$$
$$V_{dc} = \frac{3\sqrt{3} V_m}{\pi} [-(\cos(2\pi/3) - \cos(\pi/3))]$$
$$V_{dc} = \frac{3\sqrt{3} V_m}{\pi} [-(0,5 - 0,5)] = \frac{3\sqrt{3} V_m}{\pi} \cdot 1$$
$$V_{dc} = \frac{3\sqrt{3} V_m}{\pi}$$



# IV – AC/DC DÖNÜŞTÜRÜCÜLER

- Çıkış akımının ortalama değeri ( $I_{dc}$ );

$$I_{dc} = \frac{1}{T} \int_0^T i_o(t) dt$$

□ 3 fazlı kontrolsuz köprü doğrultucunun rezistif yükteki çıkış akımının dalga şekili aşağıda Şekil-4.108'de görüldüğü gibi olduğunu belirtmişlik. Bu durumda gerilimin ortalama değeri yan taraftaki gibi bulunabilecektir.

$$I_{dc} = \frac{1}{\pi/3} \int_{\pi/3}^{2\pi/3} \sqrt{3} I_m \sin \alpha t d(\alpha t)$$

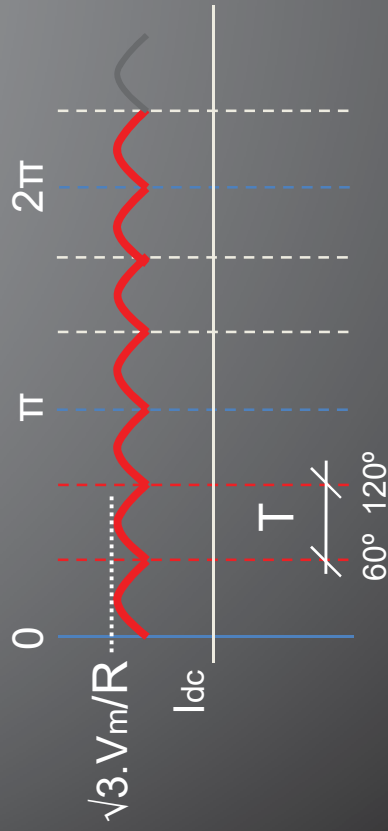
$$I_{dc} = \frac{3}{\pi} \int_{\pi/3}^{2\pi/3} \sqrt{3} I_m \sin \alpha t d(\alpha t)$$

$$I_{dc} = \frac{3\sqrt{3} I_m}{\pi/3} (-\cos \alpha t)_{\pi/3}^{2\pi/3}$$

$$I_{dc} = \frac{3\sqrt{3} I_m}{\pi} [ -(\cos(2\pi/3) - \cos(\pi/3)) ]$$

$$I_{dc} = \frac{3\sqrt{3} I_m}{\pi} [ -(-0,5 - 0,5) ] = \frac{3\sqrt{3} I_m}{\pi} . 1$$

$$I_{dc} = \frac{3\sqrt{3} I_m}{\pi} = \frac{V_{dc}}{R}$$

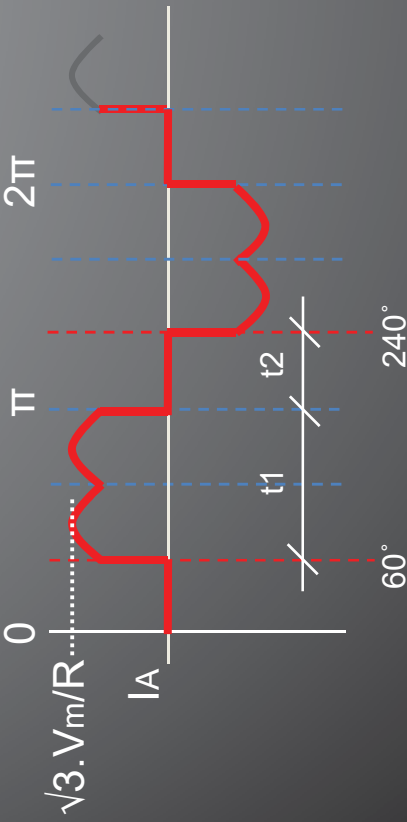


# IV – AC/DC DÖNÜŞTÜRÜCÜLER

- Ortalama çıkış gücü ( $P_{dc}$ );  
 $P_{dc} = I_{dc} \cdot V_{dc}$  ‘den bulunabilir.
- Kaynak akımının etkin değeri ( $|A_{(rms)}|$ );

Kaynağın bir fazından çekilen akım Şekil-4.109’da görülmekte olup etkin değeri yandaki gibi bulunabilecektir.

Şekil-4.109’da verilen kaynak akımını “ $\sqrt{3} \cdot V_m / R$ ” tipe değerli bir kare dalga olarak kabul edersek çözüm kolaylaşacaktır. Bu durumda akımın etkin peryodu,  $k = t_1 / (t_1 + t_2)$  olacaktır. Buradan akımın etkin değeri,  $|A_{(rms)}| = I_m \cdot \sqrt{k}$  veya,  $|A_{(rms)}| = (\sqrt{3} \cdot V_m / R) \cdot \sqrt{k}$  olur.

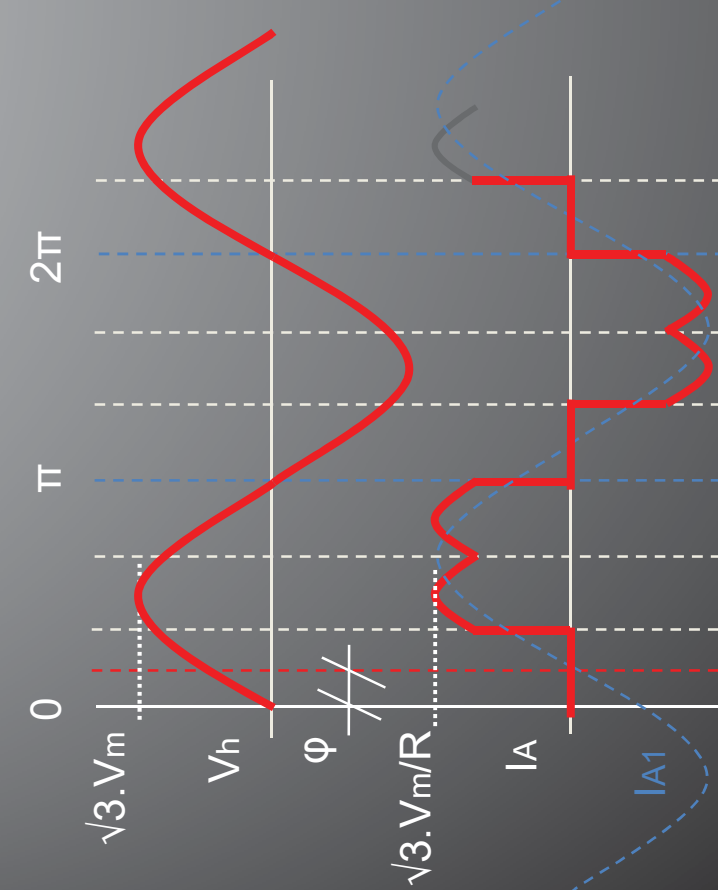


- Kaynaktan çekilen toplam etkin güç ( $P_{S(rms)}$ );  
 $P_{A(rms)} = |A_{(rms)}| \cdot V_{f(rms)}$
- Üç fazdan çekilen toplam güç;  
 $P_{S(rms)} = 3 \cdot P_{A(rms)}$

# IV – AC/DC DÖNÜŞTÜRÜCÜLER

- Devrenin güç katsayısı ( $\cos\phi$ );

Kaynağın bir fazından çekilen akım ve ilgili hat gerilimi Şekil-4.110'da görülmektedir.



- Şekil-4.110'da verilen şekele göre kaynak akımı, kaynak gerilimine göre “ $\varphi$ ” kadar ( $30^\circ$ ) gerideler. Bu durumda,  $\cos\phi = \cos 30^\circ = 0,866$  'dir.

- Anahtar (diyot) akımı ( $I_D$ ):

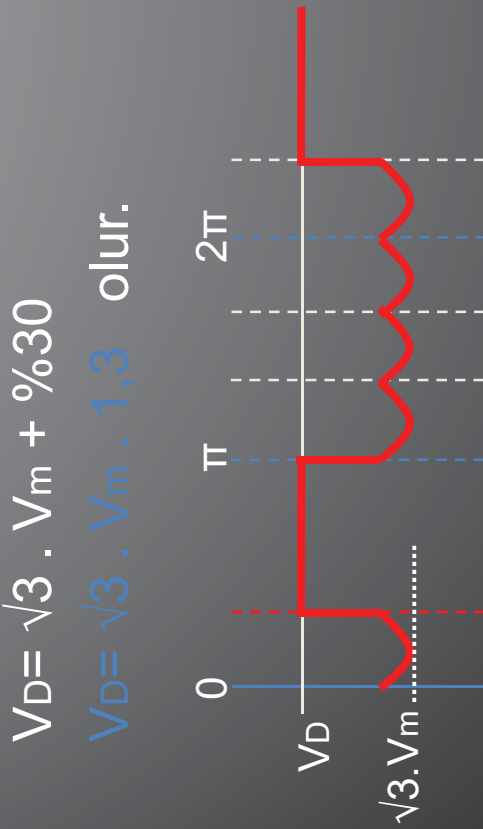
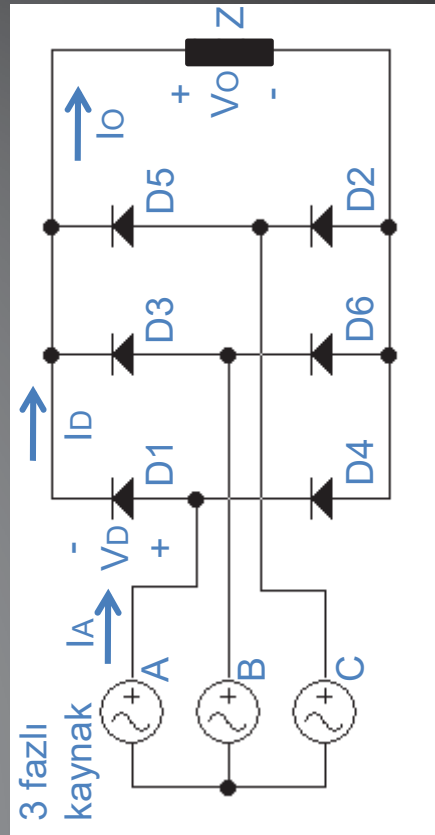
Anahtar (diyot) akımı dalgası Şekil-4.111'deki gibidir. Bu şekele göre anahtar akımı;

$$I_D = I_m + (\%30 \cdot I_m) = 1,3 \cdot \sqrt{3} \cdot V_m / R$$

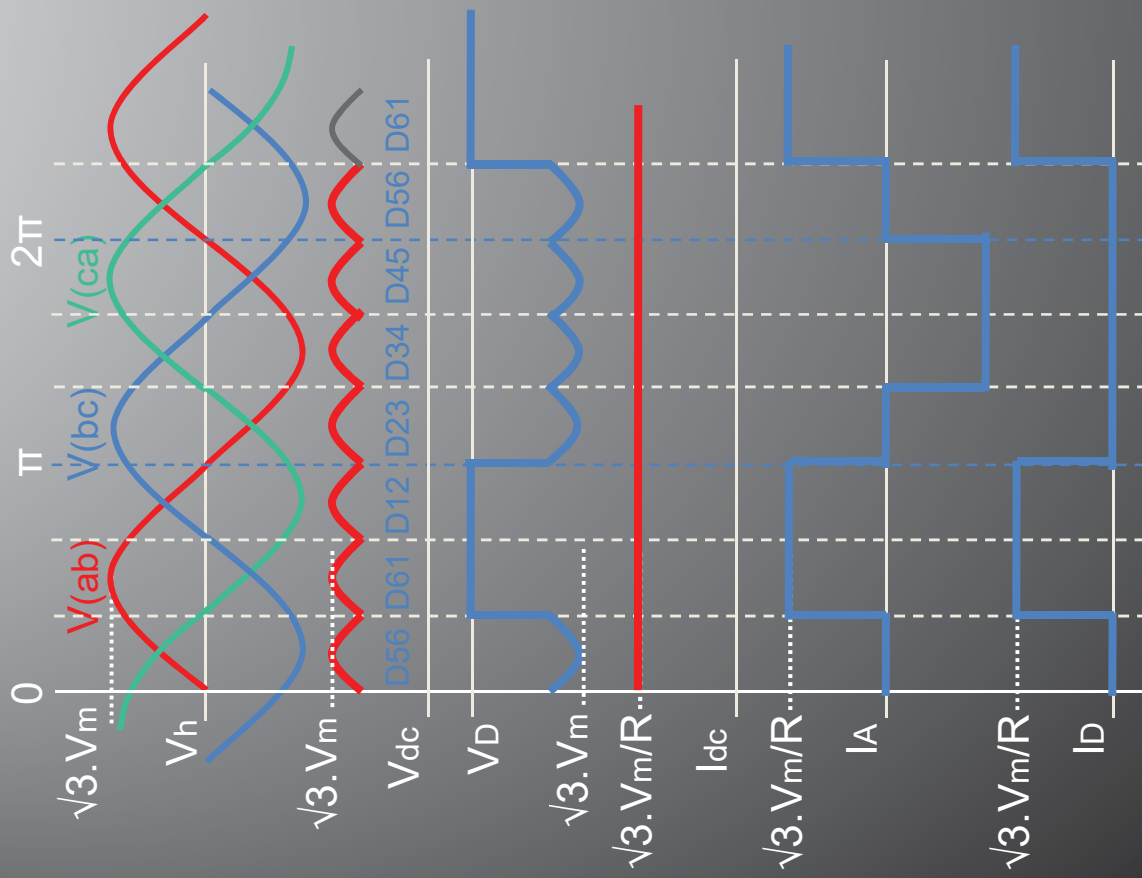


# IV – AC/DC DÖNÜŞTÜRÜCÜLER

- Anahtar gerilimi (V<sub>D</sub>);  
Anahtar gerilimi aşağıdaki gibi  
Sekil-4.112'de görülmektedir.  
Görüldüğü gibi anahtar üzerinde  
doğrudan kaynağın hat gerilimi  
gelmektedir. Bu durumda  
anahtar gerilimi, hat gerilimi  
tepe değerinin ( $\sqrt{3} \cdot V_m$ ) en az  
%30 daha fazlası olmalıdır.
- 3 fazlı kontrolsuz köprü  
doğrultucu (endüktif yükte);
  - 3 fazlı kontrolsuz köprü doğrultucu  
devre bağlantısı endüktif yük için  
Sekil-4.113'de gösterilmiştir.  
Şekilden görüldüğü gibi yüke ters  
parallel bir serbest geçiş diyodu  
bağlanmıştır.
  - Sekil-4.114'de ise devreye ait  
temel dalgalar şıkları görülmektedir.



# IV – AC/DC DÖNÜŞTÜRÜCÜLER



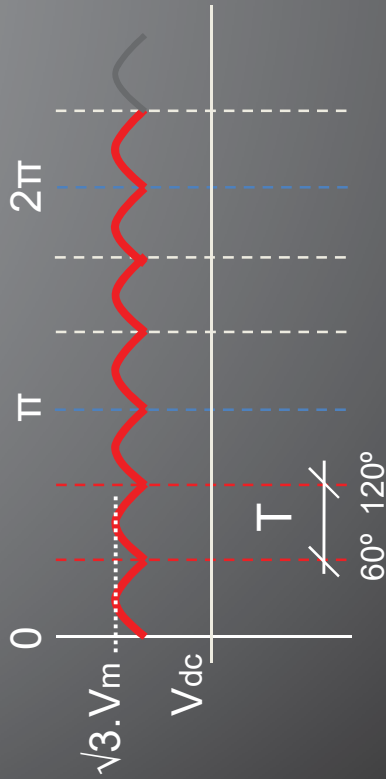
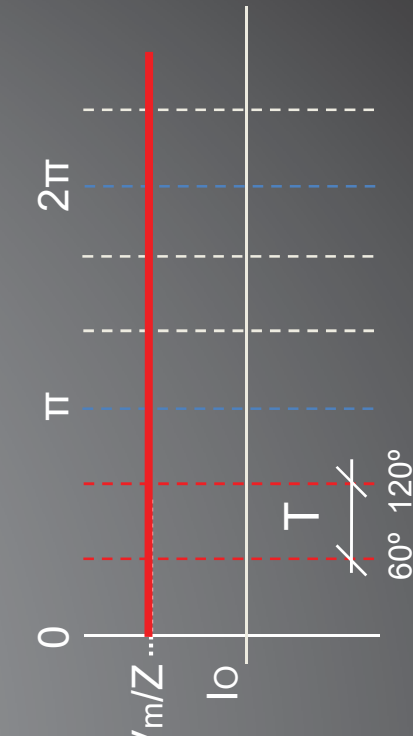
- Yan taraftaki dalga temel şekillerinden görülebileceği gibi, tam dalga doğrultma yapılması halindefiltreleme kullanılmamasına rağmen her 3 faz gerilimi arasındaki her 120° lik faz kaymalarından dolayı çıkış gerilimi çok düzgün bir şekilde oluşmuştur.
- Devrenin hat gerilimlerini doğrulttuğu görülmektedir. Her bir diyon 120 derece iletimde kalmakta fakat 60 derecede bir eş değiştirmektedir.
- Kaynaklardan çekilen akım ise AC kare dalga formatında olup 120° faz farklıdır.

# IV – AC/DC DÖNÜŞTÜRÜCÜLER

- Çıkış geriliminin ortalama değeri ( $V_{dc}$ );
- 3 fazlı kontrolsuz köprü doğrultucunun endüktif yükteki çıkış gerilim dalga şekli aşağıdaki Şekil-4.115'de görüldüğü gibi olduğunu belirtmişlik. Bu durumda gerilimin ortalama değeri rezistif yükteki eşitliğine eşittir.

- Çıkış akımının ortalama değeri ( $I_{dc}$ );
- 3 fazlı kontrolsuz köprü doğrultucunun endüktif yükteki çıkış akımının dalga şekli aşağıdaki Şekil-4.116'da görüldüğü gibi olduğunu belirtmişlik. Bu durumda gerilimin ortalama değeri,

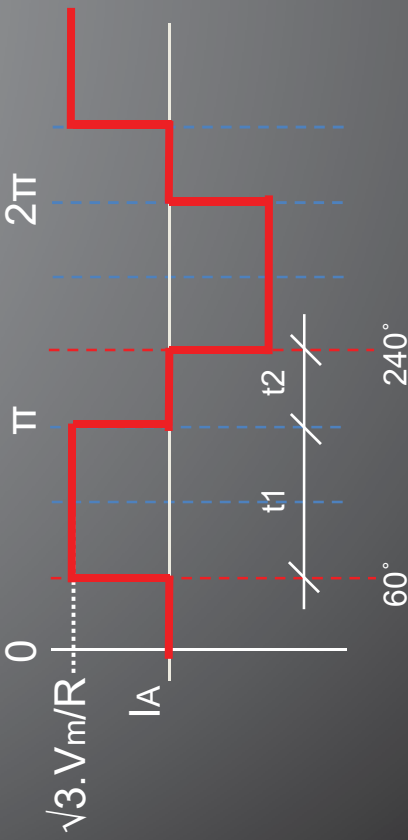
$$I_{dc} = I_m = \sqrt{3} \cdot V_m / Z$$
 olacaktır.



# IV – AC/DC DÖNÜŞTÜRÜCÜLER

- Ortalama çıkış gücü ( $P_{dc}$ );  
 $P_{dc} = I_{dc} \cdot V_{dc}$  ‘den bulunabilir.
- Kaynak akımının etkin değeri ( $|A_{(rms)}|$ );  
Kaynağın bir fazından çekilen akım Şekil-4.117’de görülmekte olup, etkin değeri yandaki gibi bulunabilecektir.

Şekil-4.117’de verilen kaynak akımını “ $\sqrt{3} \cdot V_m / R$ ” tipe değerli bir kare dalga olarak kabul edersek çözüm kolaylaşacaktır. Bu durumda akımın etkin peryodu,  
 $k = t_1 / (t_1 + t_2)$  olacaktır.  
Buradan akımın etkin değeri,  
 $|A_{(rms)}| = I_m \cdot \sqrt{k}$  veya,  
 $|A_{(rms)}| = (\sqrt{3} \cdot V_m / R) \cdot \sqrt{k}$  olur.

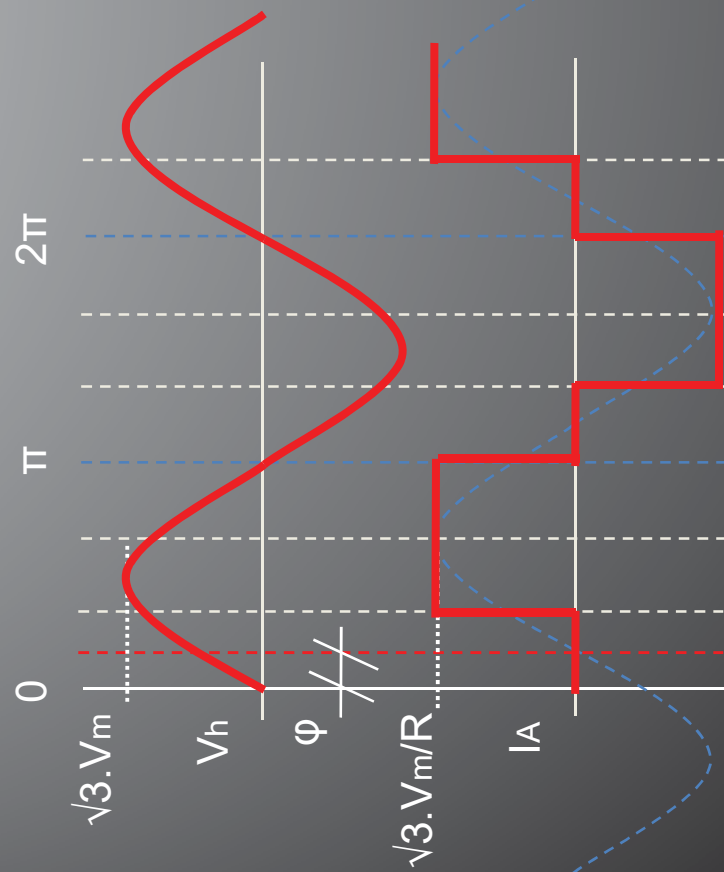


- 5) Kaynaktan çekilen toplam etkin güç ( $P_{S(rms)}$ );  
 $P_{A(rms)} = |A_{(rms)}| \cdot V_{f(rms)}$   
Üç fazdan çekilen toplam güç;  
 $P_{S(rms)} = 3 \cdot P_{A(rms)}$

# IV – AC/DC DÖNÜŞTÜRÜCÜLER

- Devrenin güç katsayıısı ( $\cos\phi$ );

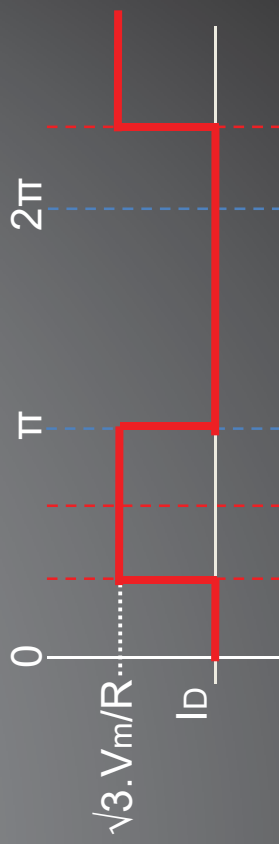
Kaynağın bir fazından çekilen akım ve ılgili hat gerilimi Şekil-4.118'de görülmektedir.



- Şekil-4.118'de verilen şekele göre kaynak akımı, kaynak gerilimine göre “ $\varphi$ ” kadar ( $30^\circ$ ) gerideler. Bu durumda,  $\cos\phi = \cos 30^\circ = 0,866$  'dir.

- Anahtar (diyot) akımı ( $I_D$ ): Anahtar (diyot) akımı dalgası Şekil-4.119'daki gibidir. Bu şekele göre anahtar akımı;

$$I_D = I_m + (\%30 \cdot I_m) = 1,3 \cdot \sqrt{3} \cdot V_m / R$$



# IV – AC/DC DÖNÜŞTÜRÜCÜLER

- Anahtar gerilimi (V<sub>D</sub>);  
Anahtar gerilimi aşağıdaki gibi  
Şekil-4.120'de görülmektedir.  
Şekilden görüldüğü gibi hat  
geriliminin tepe değerine blokaj  
yapmaktadır. Bu durumda  
anahtar gerilimi, hat gerilimi  
tepe değerinin ( $\sqrt{3} \cdot V_m$ ) en az  
%30 daha fazlası olmalıdır.

$$V_{D-T} = \sqrt{3} \cdot V_m + \%30$$

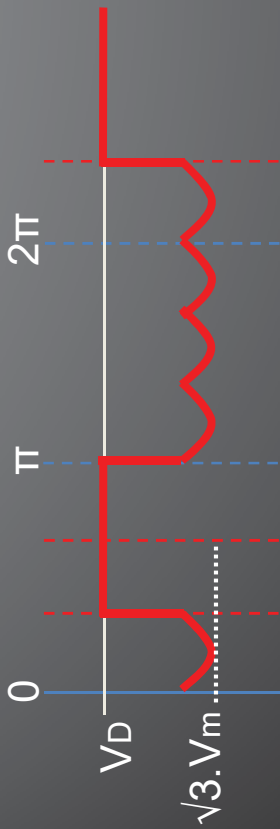
$$V_{D-T} = \sqrt{3} \cdot V_m \cdot 1,3 \text{ olur.}$$

## Örnek:

- 220V/380V-50Hz şebekede  
çalıştırılan 3 fazlı tam dalga  
kontrolsuz doğrultucu,
  - a)  $10\Omega$ 'luk rezistif bir yükü  
beslediğinde oluşacak tüm  
devre parametrelerini,
  - b)  $10\Omega$ 'luk endüktif bir yükü  
beslediğinde oluşacak tüm  
devre parametrelerini  
hesaplayınız.

## Cözüm:

- a) Rezistif yükte çıkış  
geriliminin ortalama değeri,  
 $V_{dc} = 3 \cdot \sqrt{3} \cdot V_m / \pi$



# |V - AC/DC DÖNÜŞTÜRÜCÜLER

$$V_m = V_{rms} \cdot \sqrt{2} = 220 \cdot \sqrt{2} = 311V$$

$$V_{dc} = 3 \cdot 1,73 \cdot 311 / 3,14$$

$$V_{dc} = 514V$$

■ Çıktı akımı ortalama değeri,

$$I_{dc} = V_{dc} / R = 514 / 10$$

$$I_{dc} = 51,4A$$

Ortalama çıkış gücü,

$$P_{dc} = I_{dc} \cdot V_{dc}$$

$$P_{dc} = 51,4 \cdot 514 = 26,42kW$$

□ Kaynak akımının etkin değeri,

$$k = t1 / T = 6,66ms / 10ms = 0,66$$

$$|A(rms)| = (\sqrt{3} \cdot V_m / R) \cdot \sqrt{k}$$

$$|A(rms)| = (\sqrt{3} \cdot 311 / 10) \cdot \sqrt{0,66}$$

$$|A(rms)| = 43,7A$$

■ Rezistif yükte kaynaktan çekilen etkin güç,

$$P_{S(rms)} = 3 \cdot I_{S(rms)} \cdot V_{S(rms)}$$

$$P_{S(rms)} = 3 \cdot 43,7 \cdot 220 = 28,84kW$$

■ Rezistif yükte anahtar (diyot) gerilimi,

$$V_D \geq \sqrt{3} \cdot V_m + \%30$$

$$V_D \geq \sqrt{3} \cdot 311 \cdot 1,3 \geq 700V$$

■ Rezistif yükte anahtar (diyot) akımı,

$$I_D \geq \sqrt{3} \cdot V_m / R + \%30$$

$$I_D \geq 53,8 \cdot 1,3 \geq 70A$$

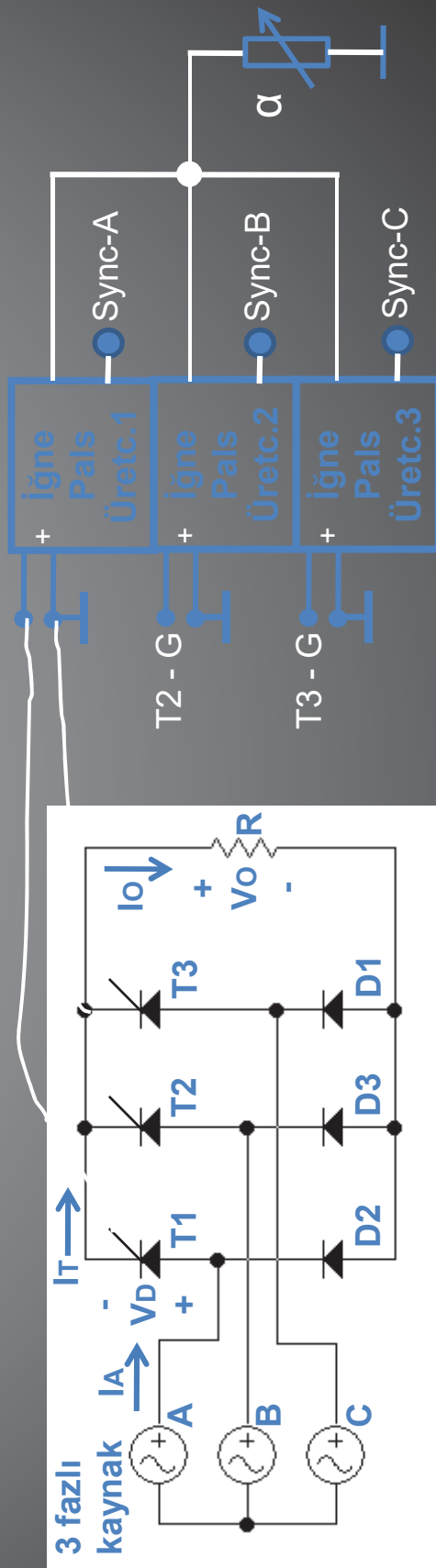
# |V - AC/DC DÖNÜŞTÜRÜCÜLER

- b) Çok endüktif yükte çıkış geriliminin ortalama değeri,  
 $V_m = V_{rms} \cdot \sqrt{2} = 220 \cdot \sqrt{2} = 311V$   
 $V_{dc} = 3 \cdot \sqrt{3} \cdot V_m / \pi$   
 $V_{dc} = 3 \cdot \sqrt{3} \cdot 311 / 3,14$   
 $V_{dc} = 514V$
    - Çıkış akımı ortalama değeri,  
 $I_{dc} = I_m = \sqrt{3} \cdot V_m / Z = 538 / 10 = 53,8A$
    - Ortalama çıkış gücü,  
 $P_{dc} = I_{dc} \cdot V_{dc}$   
 $P_{dc} = 53,8 \cdot 514 = 27,65kW$
    - Kaynak akımının etkin değeri,  
 $|A(rms)| = |I_m| \cdot \sqrt{k}$   
 $|A(rms)| = \sqrt{3} \cdot V_m / Z \cdot \sqrt{[t_1/(t_1+t_2)]}$   
 $|A(rms)| = 538/10 \cdot \sqrt{(6,66ms / 10ms)}$   
 $|A(rms)| = 43,7A$
  - Endüktif yükte anahtar (diyot)
    - Endüktif yükle etkin güç, çekilen etkin güç,  
 $P_{S(rms)} = 3 \cdot |I_{S(rms)}| \cdot V_{S(rms)}$   
 $P_{S(rms)} = 3 \cdot 43,7 \cdot 220 = 28,84kW$
    - Endüktif yükle anahtar (diyot)
      - Endüktif yükle ortalama gerilimi,  
 $V_D \geq \sqrt{3} \cdot V_m + \%30$   
 $V_D \geq \sqrt{3} \cdot 311 \cdot 1,3 \geq 700V$
      - Endüktif yükle anahtar (diyot)
        - Endüktif yükle akımı,  
 $I_D \geq \sqrt{3} \cdot V_m / R + \%30$   
 $I_D \geq 53,8 \cdot 1,3 \geq 70A$

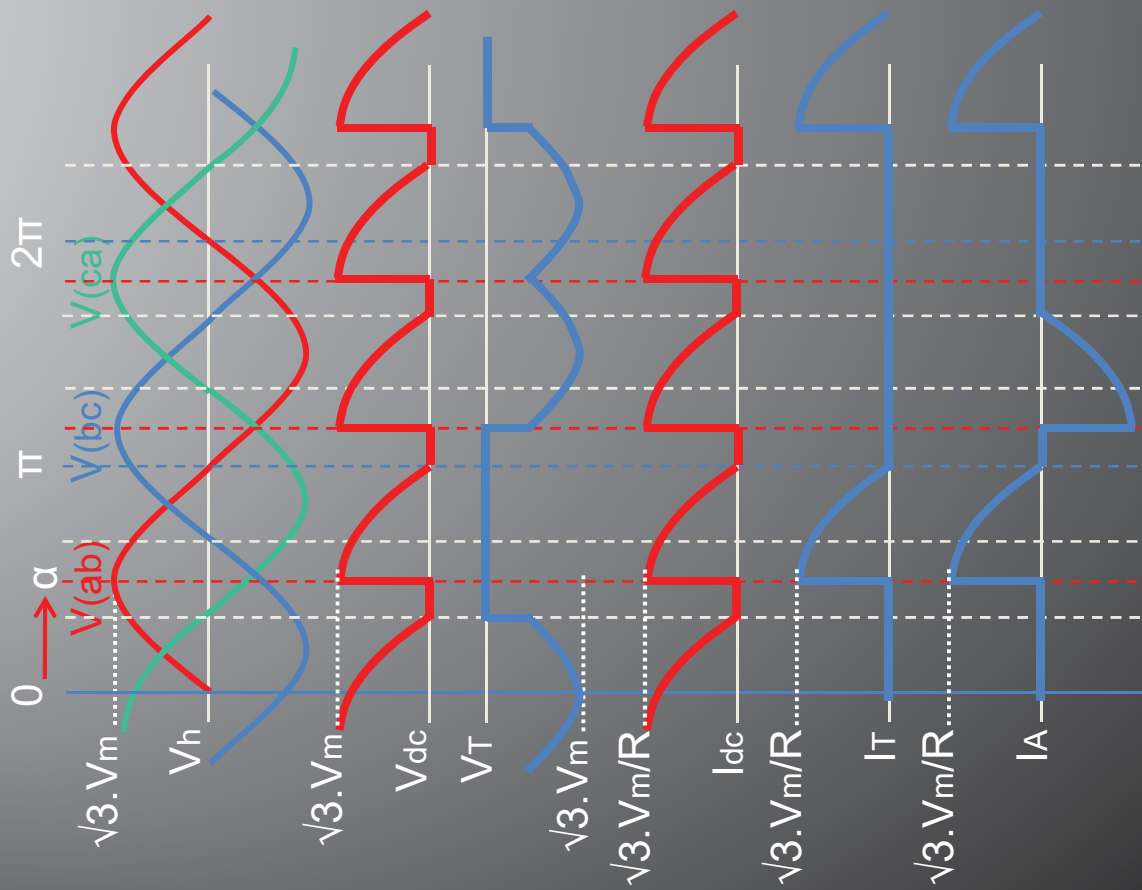
# IV – AC/DC DÖNÜŞTÜRÜCÜLER

- 3 fazlı yarım kontrollü köprü doğrultucu (rezistif yükte);
- 3 fazlı yarım kontrollü köprü doğrultucu güç devresi bağlantısı rezistif yük için Şekil-4.121'de gösterilmiştir.
- Bu devrede de 1 fazlı köprüde olduğu gibi sürme kolaylığı açısından üstteki elementler triistör, alttaki elementler ise diyottur.

- Şekilden görüldüğü gibi, 3 faz yarım kontrollü köprü doğrultucu devresini sürmek için, daha önce 3 faz yarım dalga kontrollu doğrultucu devresini sürmekte kullanılan 3 fazlı uyarma devresi aynen kullanılmıştır.
- Bu devreye ait temel dalgı şekilleri aşağıda Şekil-4.122'de ayrıntılı olarak verilmiştir.



# IV – AC/DC DÖNÜŞTÜRÜCÜLER



- Yan taraftaki dalgıa temel şekillerinden görülebileceği gibi, T1 tristörü  $V_{ab}$  geriliminin, T2 tristörü  $V_{bc}$  geriliminin, T3 tristörü ise  $V_{ca}$  geriliminin 90'inci derecesinde uyarılmıştır.
- Bunun sonucunda çıkış gerilimi ve çıkış akımı kesiş olarak oluşmuştur.
- A fazından çekilen akım ise T1 iletimde olduğunda pozitif, T2 iletimde olduğunda negatif olarak akmakta, T3 iletimde olduğuna ise A fazından herhangi yönde bir akım akmamaktadır.

# IV – AC/DC DÖNÜŞTÜRÜCÜLER

- Çıkış geriliminin ortalama değeri ( $V_{dc}$ );
- 3 fazlı yarım kontrollü köprü doğrultucunun rezistif yükteki çıkış gerilim dalga şekli aşağıda Şekil-4.123'de görüldüğü gibi olduğunu belirtmişlik. Bu durumda gerilim ortalama değeri  $\alpha \geq 60$  derece için yandaki gibidir.

$\alpha \geq 60^\circ$  için

$$V_{dc} = \frac{1}{T} \int_0^T v_o(t) dt$$

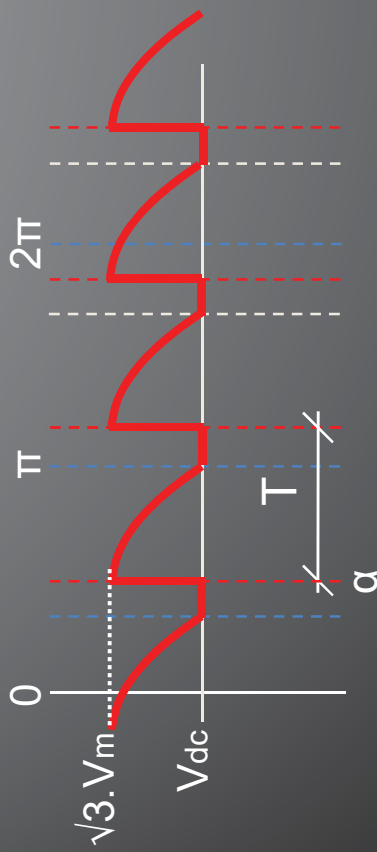
$$V_{dc} = \frac{1}{2\pi / 3} \int_{\alpha}^{\pi} \sqrt{3} \cdot V_m \sin \omega t \cdot d(\omega t)$$

$$V_{dc} = \frac{3\sqrt{3} \cdot V_m}{2\pi} \int_{\alpha}^{\pi} \sin \omega t \cdot d(\omega t)$$

$$V_{dc} = \frac{3\sqrt{3} \cdot V_m}{2\pi} (-\cos \omega t) \Big|_{\alpha}^{\pi}$$

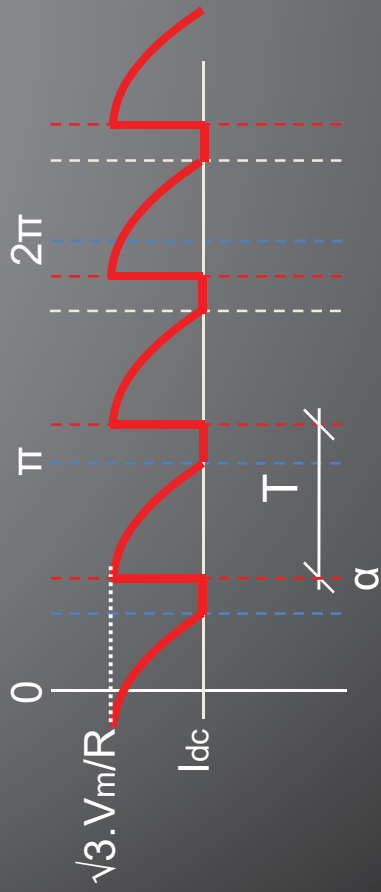
$$V_{dc} = \frac{3\sqrt{3} \cdot V_m}{2\pi} [-(\cos \pi - \cos \alpha)]$$

$$V_{dc} = \frac{3\sqrt{3} \cdot V_m}{2\pi} (1 + \cos \alpha)$$



# IV – AC/DC DÖNÜŞTÜRÜCÜLER

- Çıkış akımının ortalama değeri ( $I_{dc}$ );
- 3 fazlı yarım kontrollü köprü doğrultucunun rezistif yükteki çıkış akımının dalga şekili aşağıdağı Şekil-4.124'de görüldüğü gibi olduğunu belirtmişlik. Bu durumda akımın ortalama değeri  $\alpha \geq 60$  derece için yandaki gibidir.



$\alpha \geq 60^\circ$  için

$$I_{dc} = \frac{1}{T} \int_0^T i_o(t) dt$$

$$I_{dc} = \frac{1}{2\pi / 3} \int_0^{\pi} \sqrt{3} \cdot I_m \sin \omega t \cdot d(\omega t)$$

$$I_{dc} = \frac{3\sqrt{3} \cdot I_m}{2\pi} \int_{\alpha}^{\pi} \sin \omega t \cdot d(\omega t)$$

$$I_{dc} = \frac{3\sqrt{3} \cdot I_m}{2\pi} (-\cos \omega t) \Big|_{\alpha}^{\pi}$$

$$I_{dc} = \frac{3\sqrt{3} \cdot I_m}{2\pi} [-(\cos \pi - \cos \alpha)]$$

$$I_{dc} = \frac{V_{dc}}{R}$$

# IV – AC/DC DÖNÜŞTÜRÜCÜLER

- Ortalama çıkış gücü ( $P_{dc}$ );  
 $P_{dc} = I_{dc} \cdot V_{dc}$  ‘den bulunabilir.
- Kaynak akımının etkin değeri ( $I_{A(rms)}$ );

$$I_{A(rms)} = \sqrt{\frac{1}{T} \int_0^T [i_s(t)]^2 dt}$$

$$I_{A(rms)} = \sqrt{\frac{2}{2\pi} \int_{\alpha}^{\pi} [I_m \sin(\omega t)]^2 d(\omega t)}$$

$$I_{A(rms)} = \sqrt{\frac{I_m^2}{\pi} \int_{\alpha}^{\pi} \sin^2(\omega t) d(\omega t)}$$

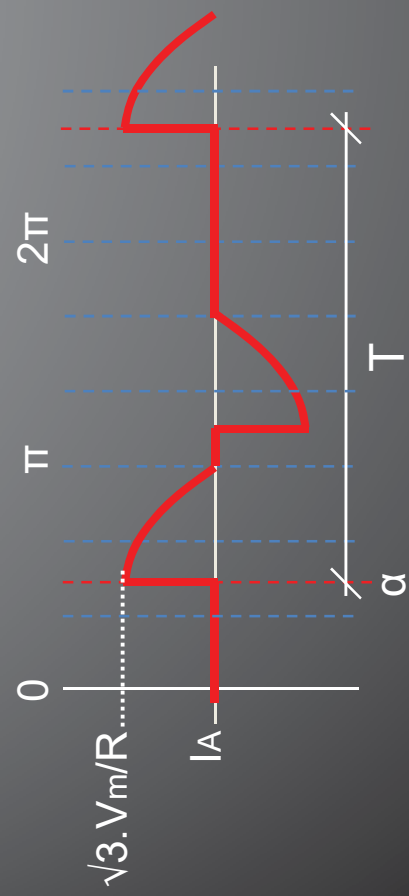
$$I_{A(rms)} = \sqrt{\frac{I_m^2}{\pi} \left[ \frac{\omega t}{2} - \frac{\sin(2\omega t)}{4} \right]_{\alpha}^{\pi}}$$

$$I_{A(rms)} = \frac{I_m}{\sqrt{2}} \sqrt{\left[ \frac{\omega t}{\pi} - \frac{\sin(2\omega t)}{2\pi} \right]_{\alpha}^{\pi}}$$

$$I_{A(rms)} = \frac{I_m}{\sqrt{2}} \sqrt{\left[ \left( \frac{\pi}{\pi} - \frac{\sin(2\pi)}{2\pi} \right) - \left( \frac{\alpha}{\pi} - \frac{\sin(2\alpha)}{2\pi} \right) \right]_{\alpha}^{\pi}}$$

$$I_{A(rms)} = \frac{I_m}{\sqrt{2}} \sqrt{1 - \frac{\alpha}{\pi} + \frac{\sin 2\alpha}{2\pi}}$$

Kaynağın bir fazından çekilen akım Şekil-4.125’de görülmekte olup, etkin değeri yandaki gibi bulunabilecektir.

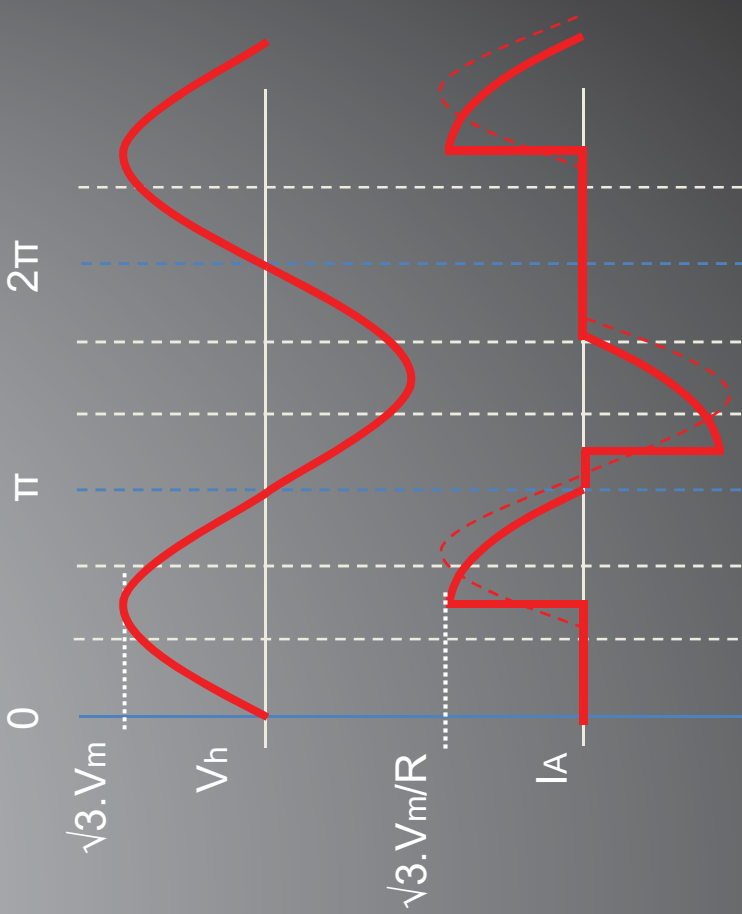


# IV – AC/DC DÖNÜŞTÜRÜCÜLER

- Kaynaktan çekilen toplam etkin güç ( $P_{S(\text{rms})}$ );  
 $P_{A(\text{rms})} = |A_{(\text{rms})}| \cdot V_{f(\text{rms})}$
- Üç fazdan çekilen toplam güç;  
 $P_{S(\text{rms})} = 3 \cdot P_{A(\text{rms})}$

- Devrenin güç katsayısı ( $\cos\phi$ );  
Kaynağın bir fazından çekilen akım ve ilgili hat gerilimi yan tarafta Şekil-4.126'da görülmektedir.

Şekilden görüldüğü gibi, kaynak akımı, kaynaktan kesikli olarak çekilmektedir ve güç katsayısı aşağıdaki gibi  
üzerinden tam olarak belirlenemektedir.



# IV – AC/DC DÖNÜŞTÜRÜCÜLER

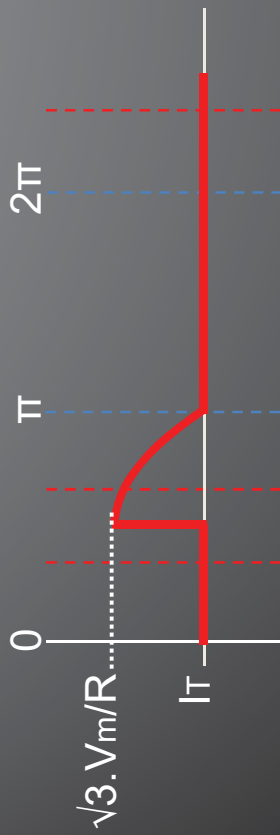
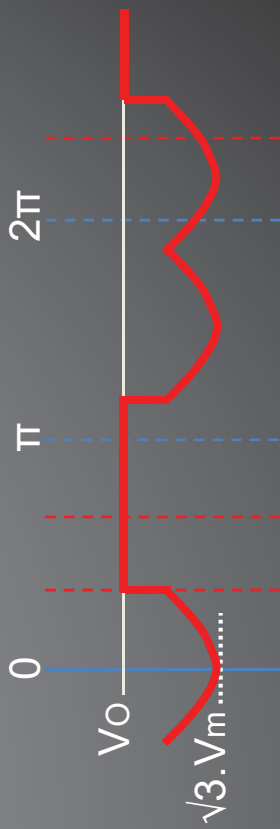
- Anahtar (diyot-tristör) akımı ( $I_D$ );
- Anahtar (diyot-tristör) gerilimi ( $V_D$ );

Devredeki anahtar (diyot-tristör) akımının dalga şekli Şekil-4.127'deki gibidir. Bu şekle göre anahtar akımı, diğer uygulamalarda da olduğu gibi, üzerinde geçen akımın tipe değerine en az %30 tolerans payı eklenerek bulunabilir.

$$I_D = I_m + (\%30 \cdot I_m) = 1,3 \cdot \sqrt{3} \cdot V_m / R$$

Devredeki anahtar (diyot-tristör) geriliminin dalga şekli Şekil-4.128'deki gibidir. Bu şekle göre anahtar gerilimi de, diğer uygulamalarda da olduğu gibi, üzerindeki gerilimin tipe değerine en az %30 tolerans payı eklenerek bulunabilir.

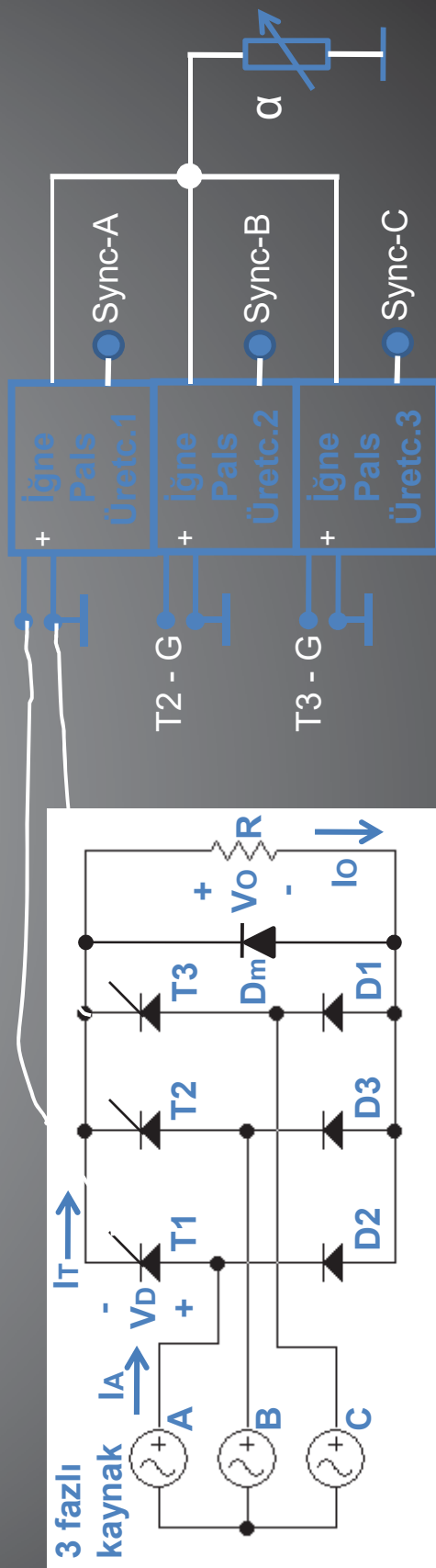
$$V_D = 1,3 \cdot \sqrt{3} \cdot V_m$$



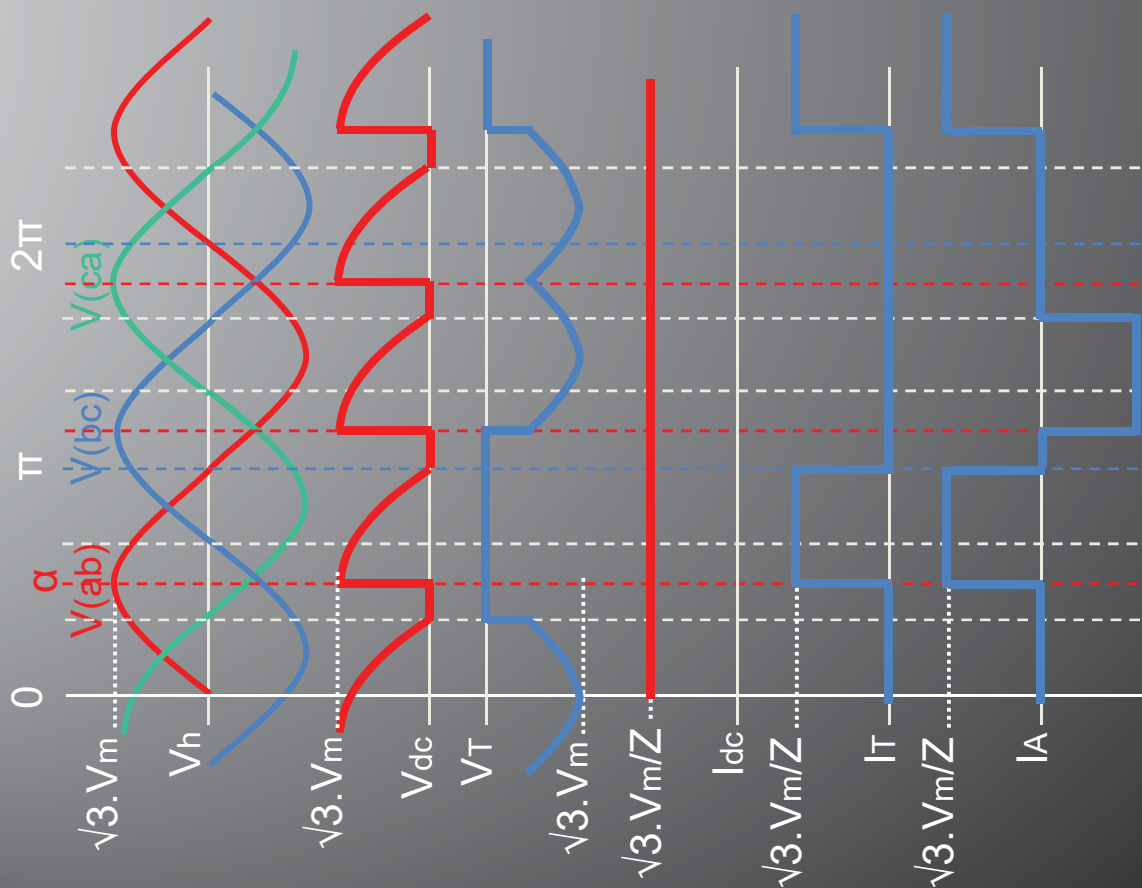
# IV – AC/DC DÖNÜŞTÜRÜCÜLER

- 3 fazlı yarım kontrollü köprü doğrultucu (endüktif yükte);
- 3 fazlı yarım kontrollü köprü doğrultucu güç devresi bağlantısı endüktif yük için Şekil-4.129'da gösterilmiştir.
- Bu devrede de 1 fazlı köprüde olduğu gibi sürme kolaylığı açısından üstteki elementler tristör, alttaki elementler ise diyottur.

- Şekilden görüldüğü gibi, 3 faz yarım kontrollü köprü doğrultucu devresini sürmek için, daha önce 3 faz yarım dalga kontrollu doğrultucu devresini sürmekte kullanılan 3 fazlı uyarma devresi aynen kullanılmıştır.
- Bu devreye ait temel dalgalar Şekilleri aşağıda Şekil-4.130'da ayrıntılı olarak verilmiştir.



# IV – AC/DC DÖNÜŞTÜRÜCÜLER

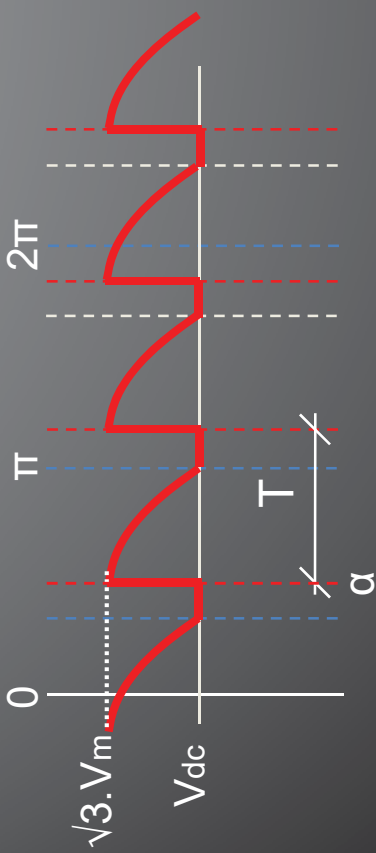
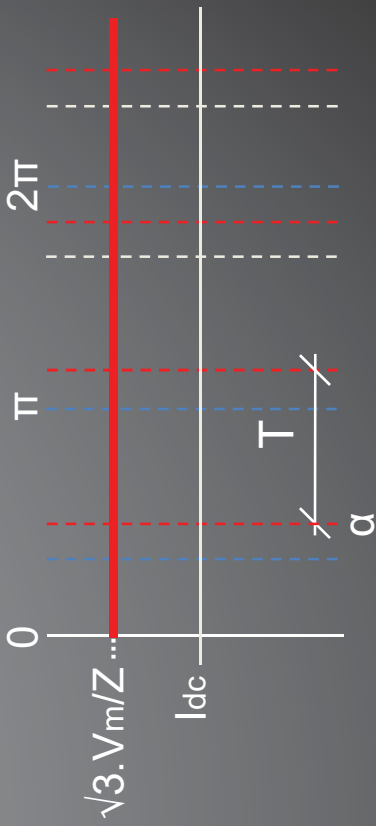


- Yan taraftaki dalga temel Şekillerinden görülebileceği gibi, T1 tristörü  $V_{ab}$  geriliminin, T2 tristörü  $V_{bc}$  geriliminin, T3 tristörü ise  $V_{ca}$  geriliminin 90'inci derecesinde uyarılmıştır. Bu durumda çıkış akımı serbest geçiş diyodunun etkisiyle düz olarak gerçekleşmiştir.
- A fazından çekilen akım ise T1 iletimde olduğunda pozitif, T2 iletimde olduğunda negatif olarak akmaktadır, T3 iletimde olduğuna ise A fazından herhangi yönde bir akım akmamaktadır.

# IV – AC/DC DÖNÜŞTÜRÜCÜLER

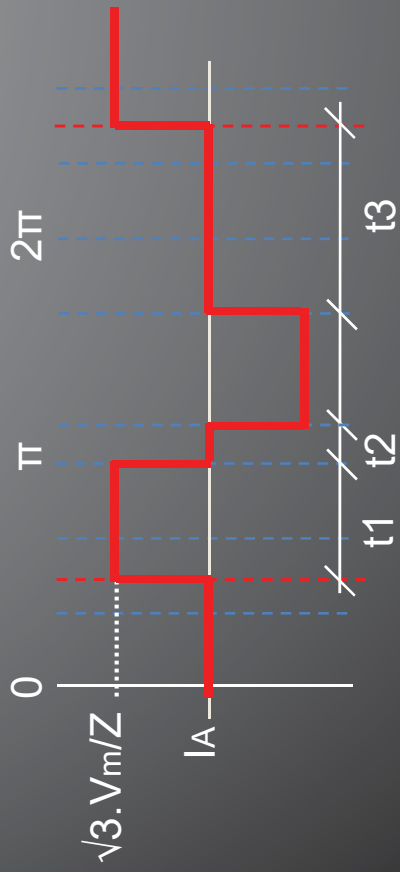
- Çıkış geriliminin ortalama değeri ( $V_{dc}$ );
- 3 fazlı yarım kontrollü köprü doğrultucunun endüktif yükteki çıkış gerilim dalgası Şekil-4.131'de görüldüğü gibi olduğunu belirtmişlik. Bu durumda gerilim ortalama değeri rezistif yükle aynıdır.
- Çıkış akımının ortalama değeri ( $I_{dc}$ );
- 3 fazlı yarım kontrollü köprü doğrultucunun endüktif yükteki çıkış akımı dalga şekili aşağıdaki Şekil-4.132'de görüldüğü gibi olduğunu belirtmişlik. Bu durumda akımın ortalama değeri,

$$I_{dc} = I_m = \sqrt{3} \cdot V_m / Z \text{ olacaktır.}$$



# IV – AC/DC DÖNÜŞTÜRÜCÜLER

- Ortalama çıkış gücü ( $P_{dc}$ );
  - Şekil-4.133'den görüldüğü gibi AC kare dalga formatında olan kaynak akımı ancak etkin peryotla yaklaşık olarak hesaplanabilecektir.
- Kaynak akımının etkin değeri ( $I_{A(rms)}$ );
  - Kaynağın bir fazından çekilen akım Şekil-4.133'de görülmekte olup, etkin değeri yandaki gibi bulunabilecektir.
- $P_{dc} = I_{dc} \cdot V_{dc}$  'den bulunabilir.
- Şekil-4.133'den görüldüğü gibi AC kare dalga formatında olan kaynak akımı ancak etkin peryotla yaklaşık olarak hesaplanabilecektir.
- Bu durumda etkin peryot, $k = t_1 / [t_1 + (t_2 + t_3)/2]$
- Etkin peryodu kullanarak kaynak akımının etkin değeri, $I_{S(rms)} = I_m \cdot \sqrt{k}$ veya, $I_{S(rms)} = (\sqrt{3} \cdot V_m / Z) \cdot \sqrt{k}$ eşitliğinden hesaplanabilecektir.



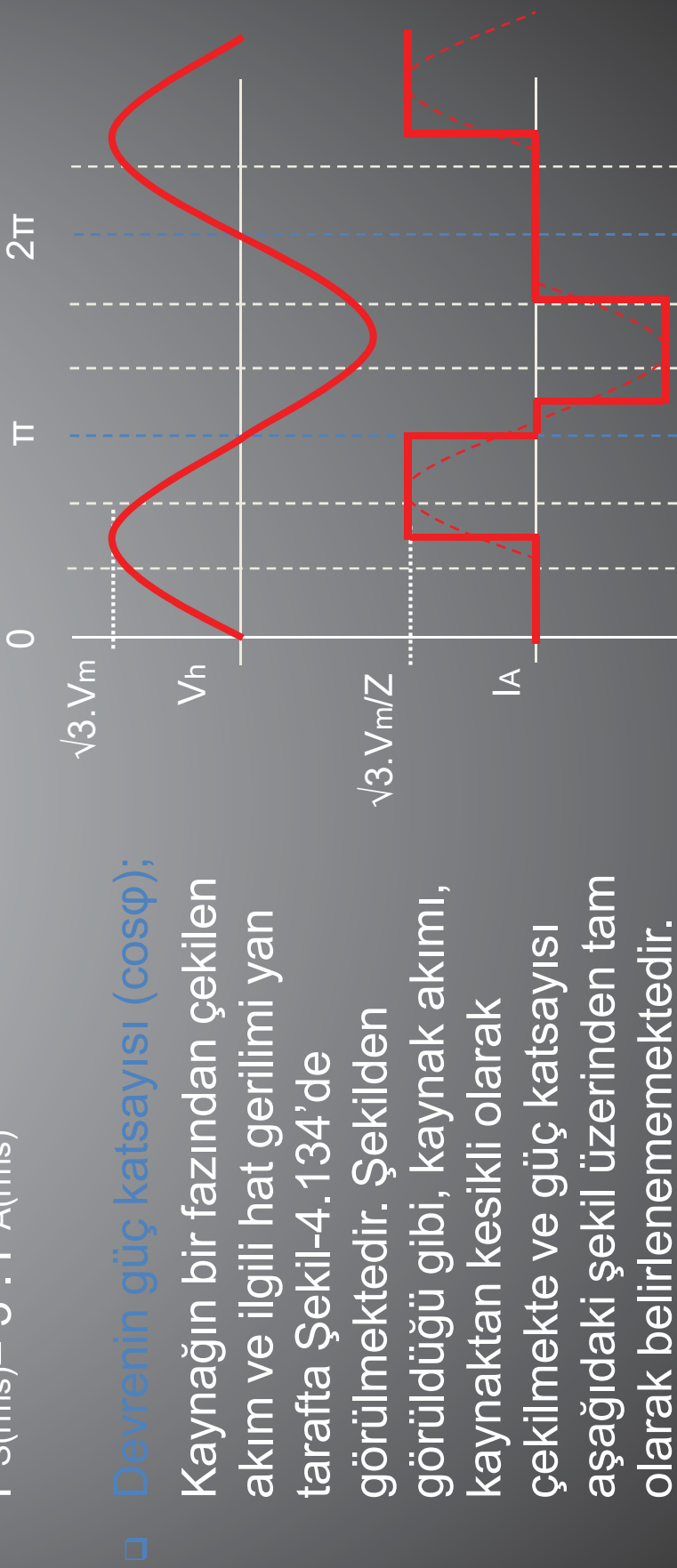
# IV – AC/DC DÖNÜŞTÜRÜCÜLER

- Kaynaktan çekilen toplam etkin güç ( $P_{S(\text{rms})}$ );

$$P_{A(\text{rms})} = |I_A(\text{rms})| \cdot V_{f(\text{rms})}$$

Üç fazdan çekilen toplam güç;  
 $P_{S(\text{rms})} = 3 \cdot P_{A(\text{rms})}$

- Bu durumda güç katsayıısı, aktif gücün görünür güce oranından yani,  
 $\cos\phi = P / S$ 'den bulunabilir.



# IV – AC/DC DÖNÜŞTÜRÜCÜLER

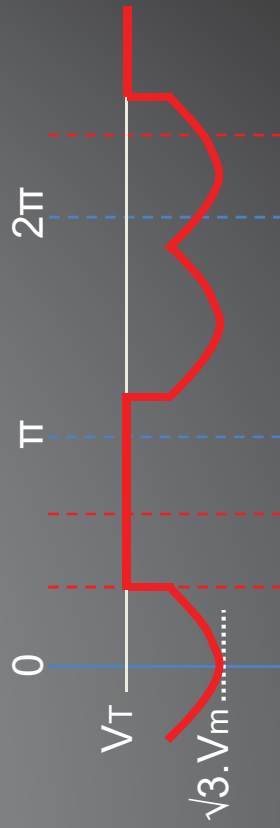
- Anahtar (diyot-tristör) akımı ( $I_D$ );
- Anahtar (diyot-tristör) gerilimi ( $V_D$ );

Devredeki anahtar (diyot-tristör) akımının dalga şéklini Şekil-4.135'deki gibidir. Bu şékle göre anahtarlar gerilimi de, diğer uygulamalarda da olduğu gibi, üzerindeki gerilimin tópe değerine en az %30 tolerans payı eklenerek bulunabilir.

$$I_D = I_m + (\%30 \cdot I_m) = 1,3 \cdot \sqrt{3} \cdot V_m / Z$$

Devredeki anahtarlar (diyot-tristör) geriliminin dalga şéklini Şekil-4.136'daki gibidir. Bu şékle göre anahtarlar gerilimi de, diğer uygulamalarda da olduğu gibi, üzerindeki gerilimin tópe değerine en az %30 tolerans payı eklenerek bulunabilir.

$$V_D = 1,3 \cdot \sqrt{3} \cdot V_m$$



# |V – AC/DC DÖNÜŞTÜRÜCÜLER

- **Örnek:**
  - 220V/380V-50Hz şebekede çalıştırılan 3 fazlı tam dalga yarımkontrollü doğrultucu,
    - a)  $10\Omega$ 'luk rezistif bir yükü beslediğinde oluşacak tüm devre parametrelerini,
    - b)  $10\Omega$ 'luk endüktif bir yükü beslediğinde oluşacak tüm devre parametrelerini hesaplayınız.
  - Çıkış akımı ortalama değeri, $I_{dc} = V_{dc} / R = 257 / 10$   
 $I_{dc} = 25,7A$
  - Ortalama çıkış gücü, $P_{dc} = I_{dc} \cdot V_{dc}$   
 $P_{dc} = 25,7 \cdot 257 = 6,6kW$
  - Kaynak akımının etkin değeri, $k = t_1 / T = 5ms / 10ms = 0,5$   
 $I_A(rms) = (\sqrt{3} \cdot V_m / Z) \cdot \sqrt{k}$   
 $I_A(rms) = (\sqrt{3} \cdot 311 / 10) \cdot \sqrt{0,5}$   
 $I_A(rms) = 37,66A$

# |V – AC/DC DÖNÜŞTÜRÜCÜLER

- Rezistif yükte kaynaktan çekilen etkin güç,

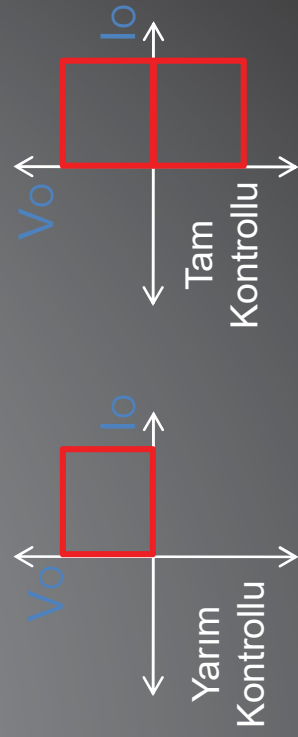
$$P_{S(rms)} = 3 \cdot I_{S(rms)} \cdot V_{S(rms)}$$

$$P_{S(rms)} = 3,37,66,220 = 24,85 \text{ kW}$$

- Rezistif yükte anahtar (diyot-tristör) gerilimi,  
 $V_D \geq \sqrt{3} \cdot V_m + \%30$   
 $\textcolor{blue}{V_D \geq \sqrt{3} \cdot 311 \cdot 1,3 \geq 700V}$
- Rezistif yükte anahtar (diyot-tristör) akımı,  
 $I_D \geq \sqrt{3} \cdot V_m / R + \%30$   
 $\textcolor{blue}{I_D \geq 53,8 \cdot 1,3 \geq 70A}$
- Çok endüktif yükte çıkış geriliminin ortalama değeri,  
 $V_m = V_{rms} \cdot \sqrt{2} = 220 \cdot \sqrt{2} = 311V$   
 $I_{dc} = (3 \cdot \sqrt{3} \cdot V_m / \pi) \cdot (1 + \cos 90)$   
 $V_{dc} = (3 \cdot \sqrt{3} \cdot 311 / 6,28) \cdot (1 + 0)$   
 $\textcolor{blue}{V_{dc} = 257V}$
- Çıkış akımı ortalama değeri,  
 $I_{dc} = I_m = \sqrt{3} \cdot V_m / Z = 538 / 10 = 53,8A$   
Ortalama çıkış gücü,  
 $P_{dc} = I_{dc} \cdot V_{dc}$   
 $P_{dc} = 53,8 \cdot 257 = 13,82 \text{ kW}$
- Kaynak akımının etkin değeri,  
 $|A(rms)| = I_m \cdot \sqrt{k}$   
 $|A(rms)| = \sqrt{3} \cdot V_m / Z \cdot \sqrt{[t_1/(t_1+t_2)]}$   
 $|A(rms)| = 538/10 \cdot \sqrt{(5ms / 10ms)}$   
 $|A(rms)| = 37,66A$

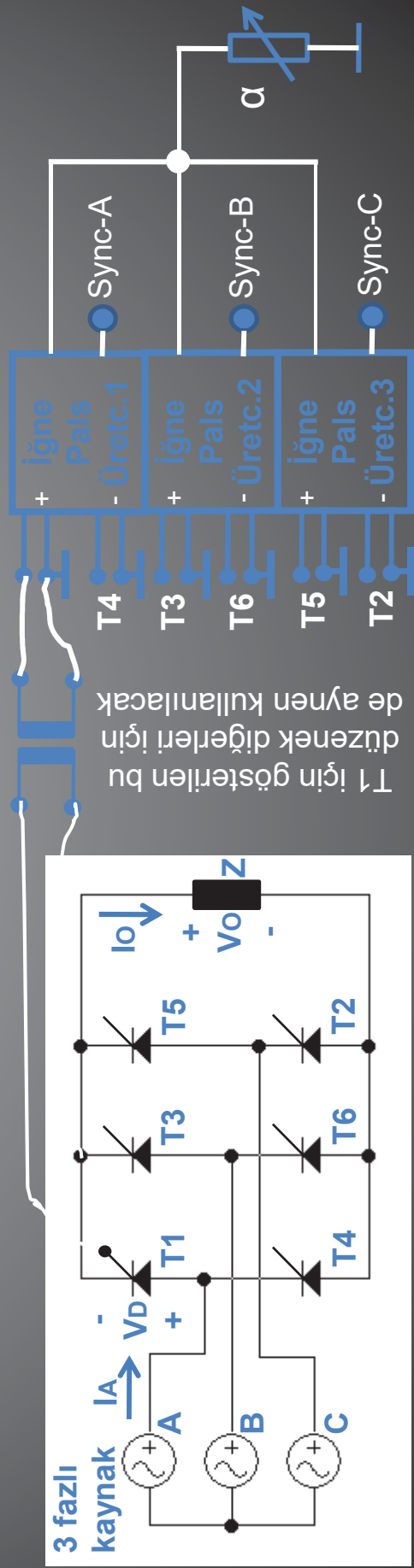
# IV – AC/DC DÖNÜŞTÜRÜCÜLER

- Endüktif yükte kaynaktan çekilen etkin güç,  
 $P_{S(\text{rms})} = 3 \cdot I_{S(\text{rms})} \cdot V_{S(\text{rms})}$   
 $P_{S(\text{rms})} = 3 \cdot 37,66 \cdot 220 = 24,85 \text{ kW}$
- Endüktif yükte anahtar (diyot-tristör) gerilimi,  
 $V_D \geq \sqrt{3} \cdot V_m + \%30$   
 $V_D \geq \sqrt{3} \cdot 311 \cdot 1,3 \geq 700 \text{ V}$
- Endüktif yükte anahtar (diyot-tristör) akımı,  
 $I_D \geq \sqrt{3} \cdot V_m / R + \%30$   
 $I_D \geq 53,8 \cdot 1,3 \geq 70 \text{ A}$

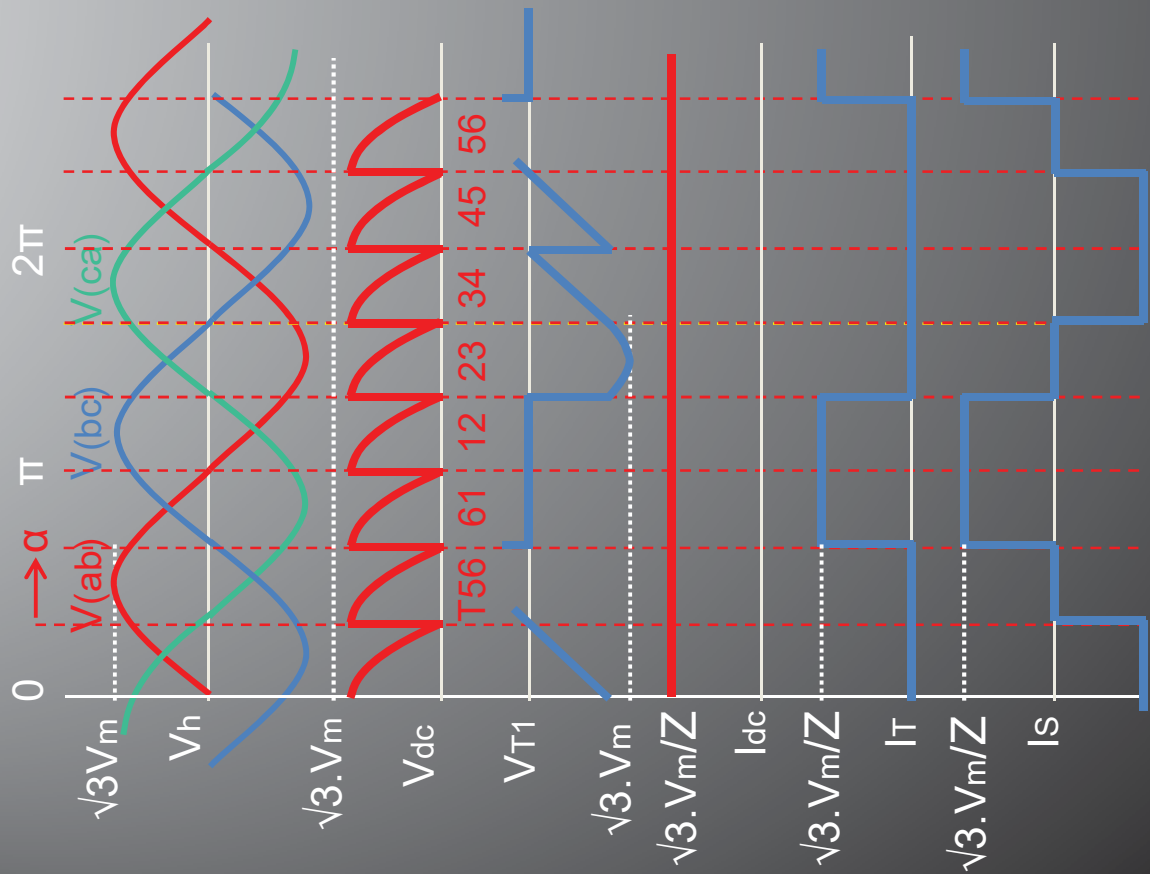


# IV – AC/DC DÖNÜŞTÜRÜCÜLER

- 3 fazlı tam kontrollu köprü doğrultucu (endüktif yükte);
- 3 fazlı tam kontrollu köprü doğrultucu güç devresi bağlantısı endüktif yük için Şekil-4.138'de gösterilmiştir.
- Bu devrede de 1 fazlı köprüde olduğu gibi köprüdeki tüm elemanlar tristördür ve serbest geçiş diyodu kullanılmıştır.
- Şekilden görüldüğü gibi, 3 faz tam kontrollu köprü doğrultucu devresini sürmek için, daha önce 3 faz yarım dalga kontrollu doğrultucu devresini sürmekte kullanılan 3 fazlı uyarma devresi yalıtmaya yapılarak kullanılmıştır.
- Bu devreye ait temel dalga şekilleri aşağıda Şekil-4.139'da ayrıntılı olarak verilmiştir.



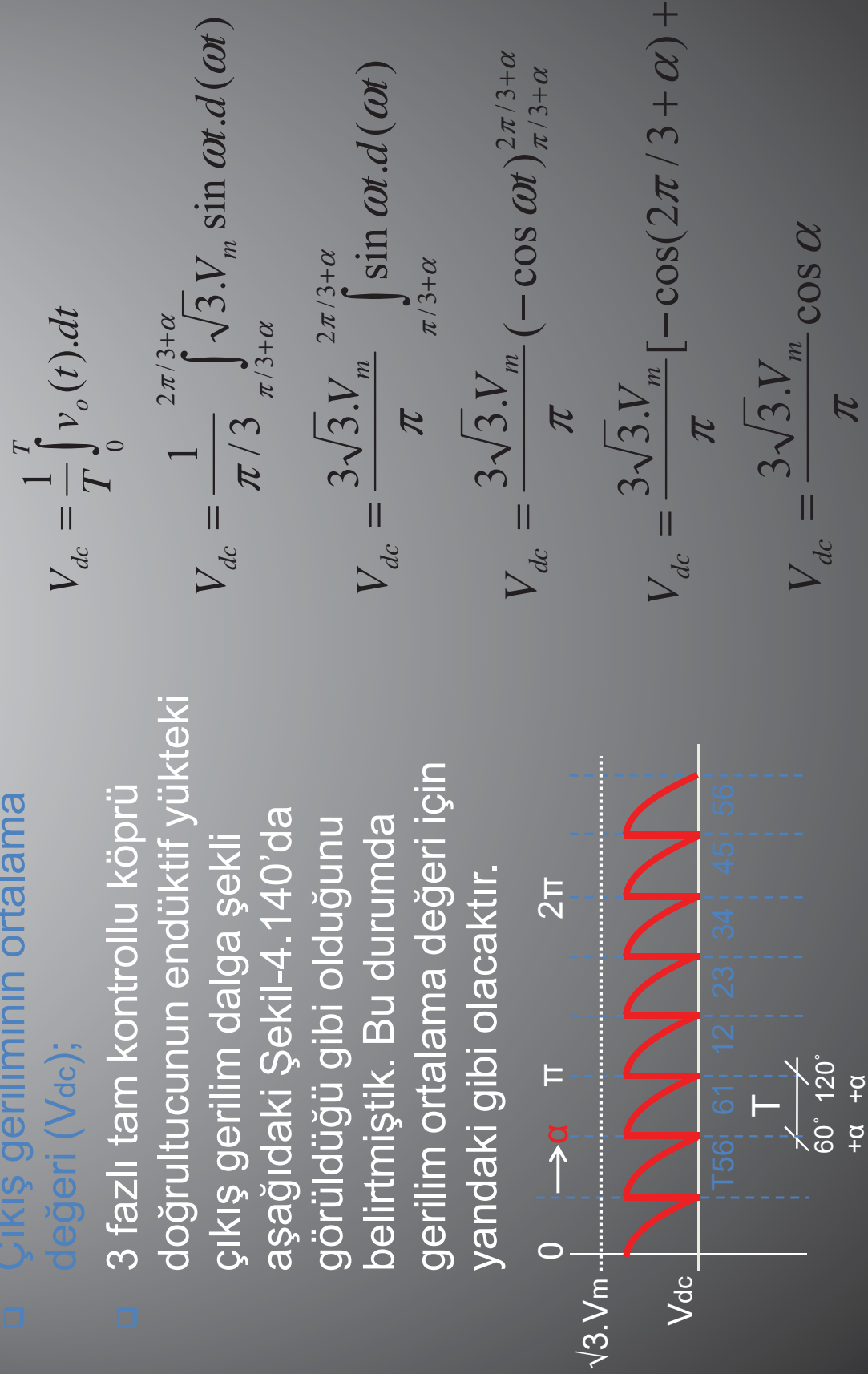
# IV – AC/DC DÖNÜŞTÜRÜCÜLER



- Yan taraftaki dalga temel Şekillerinden görülebileceği gibi, devredeki tristörler tipki 3 fazlı kontrollsuz köprüdeki diyonotların doğal hareketlerinde olduğu gibi uyarılmışlardır.
- Burada kullanılan uyarma tekniği ile her bir tristör 120 derece iletimde tutulmakta, her 60 derecede eş değiştirmekte ve çıkışta hat gerilimini doğrultarak kontrol etmektedir.
- 60 derecelik uyarma açısı için çizilen bu şekilde negatif kısımlar oluşmamıştır. Açı büyüdüükçe gerilim negatife doğru sarkmaktadır.

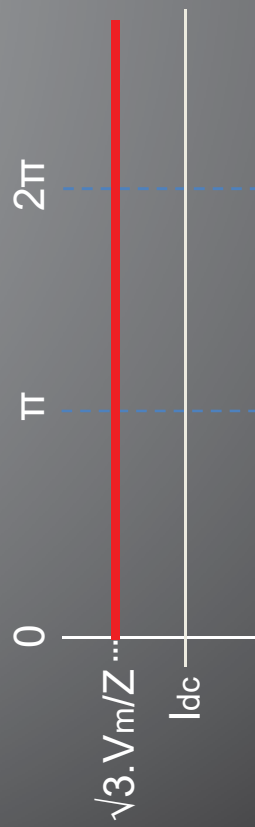
# IV – AC/DC DÖNÜŞTÜRÜCÜLER

- Çıkış geriliminin ortalama değeri ( $V_{dc}$ );
- 3 fazlı tam kontrollü köprü doğrultucunun endüktif yükteki çıkış gerilim dalga şekli aşağıdaki Şekil-4.140'da görüldüğü gibi olduğunu belirtmişlik. Bu durumda gerilim ortalama değeri için yandaki gibi olacaktır.

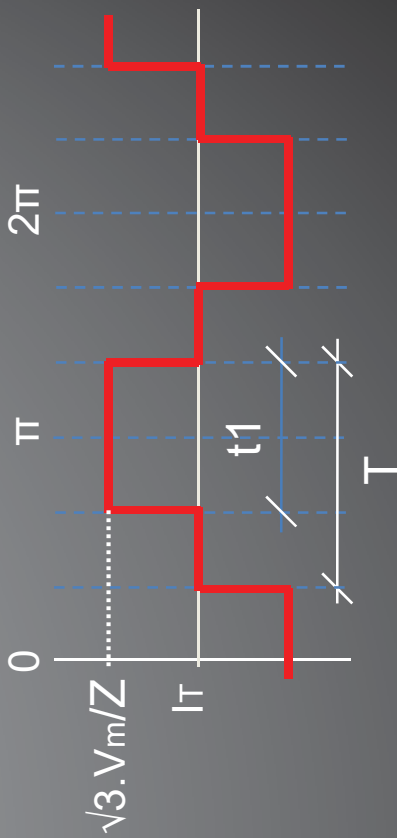


# IV – AC/DC DÖNÜŞTÜRÜCÜLER

- Çıkış akımının ortalama değeri ( $I_{dc}$ );
- 3 fazlı tam kontrollü köprü doğrultucunun endüktif yükteki çıkış akımı dalga şekli aşagıdaki Şekil-4.141'de görüldüğü gibidir. Bu durumda akımın ortalama değeri,  
 $I_{dc} = I_m = \sqrt{3} \cdot V_m / Z$  olacaktır.
- Kaynak akımının etkin değeri ( $I_{A(rms)}$ );  
Kaynağın bir fazından çekilen akım Şekil-4.142'de görülmekte olup etkin değeri,  
 $k = t_1 / (t_1 + t_2)$   
 $I_{S(rms)} = I_m \cdot \sqrt{k}$   
 $I_{S(rms)} = (\sqrt{3} \cdot V_m / Z) \cdot \sqrt{k}$  eşitliğinden bulunabilecektir.



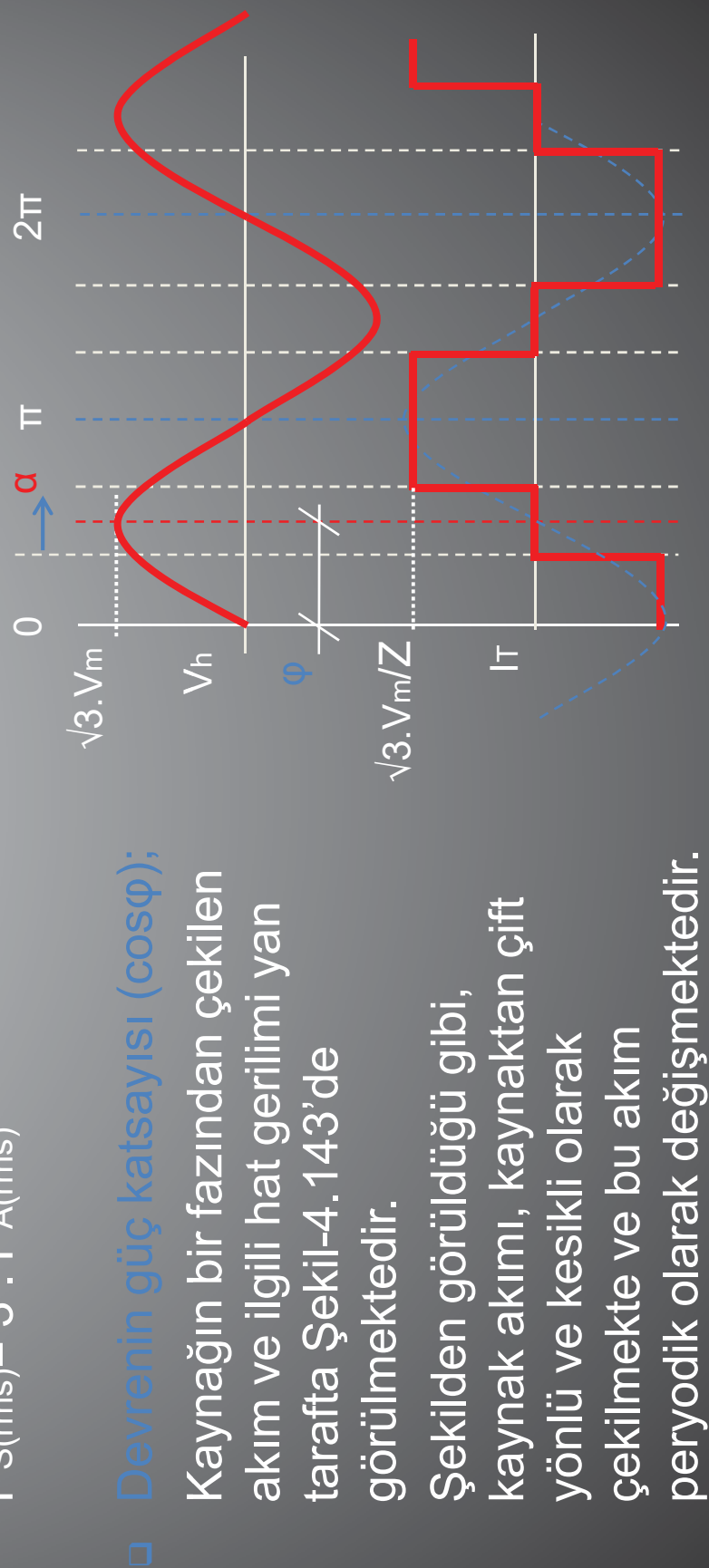
- Ortalama çıkış gücü ( $P_{dc}$ );  
 $P_{dc} = I_{dc} \cdot V_{dc}$  ‘den bulunabilir.



# IV – AC/DC DÖNÜŞTÜRÜCÜLER

- Kaynaktan çekilen toplam etkin güç ( $P_{S(\text{rms})}$ );
- $P_{A(\text{rms})} = I_{A(\text{rms})} \cdot V_{f(\text{rms})}$
- Üç fazdan çekilen toplam güç;  
 $P_{S(\text{rms})} = 3 \cdot P_{A(\text{rms})}$

$\cos\phi = \cos(60^\circ + \alpha/2)$   
eşitliğinden bulunabilmektedir.



# IV – AC/DC DÖNÜŞTÜRÜCÜLER

- Anahtar (diyot-tristör) akımı ( $I_\tau$ );

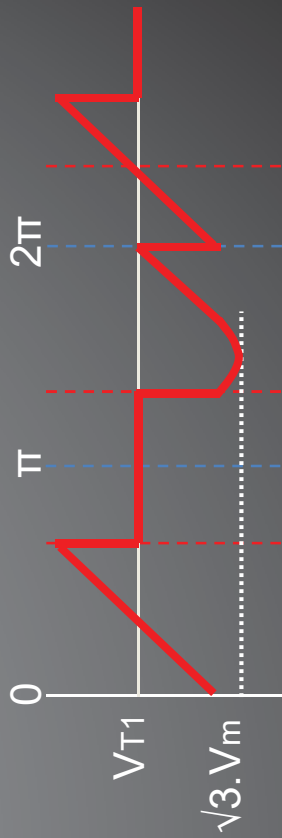
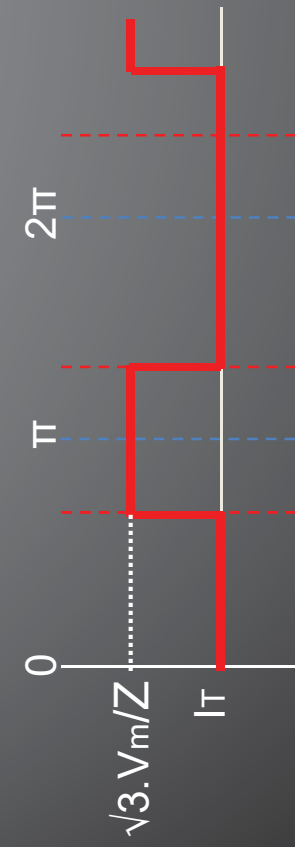
Devredeki anahtar (diyot-tristör) akımının dalga şekli Şekil-4.144'deki gibidir. Bu şekle göre anahtarlar akımı, diğer uygulamalarda da olduğu gibi, üzerinde geçen akımın tipe değerine en az %30 tolerans payı eklenerek bulunabilir.

$$I_\tau = I_m + (\%30 \cdot I_m) = 1,3 \cdot \sqrt{3} \cdot V_m / Z$$

- Anahtar (diyot-tristör) gerilimi ( $V_\tau$ );

Devredeki anahtarlar (diyot-tristör) geriliminin dalga şekli Şekil-4.145'deki gibidir. Bu şekle göre anahtar gerilimi de, diğer uygulamalarda da olduğu gibi, üzerindeki gerilimin tipe değerine en az %30 tolerans payı eklenerek bulunabilir.

$$V_\tau = 1,3 \cdot \sqrt{3} \cdot V_m$$

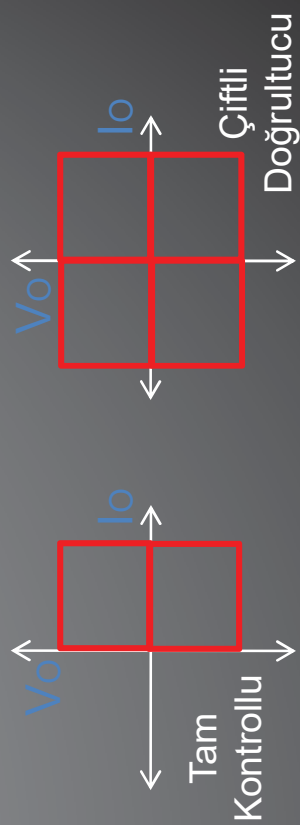


# |V – AC/DC DÖNÜŞTÜRÜCÜLER

- **Örnek:**
  - 220V/380V-50Hz şebekede  $90^\circ$  uyarmada çalıştırılan 3 fazlı tam dalga tam kontrollü doğrultucu,
    - a)  $10\Omega$ 'luk rezistif bir yükü beslediğinde oluşacak tüm devre parametrelerini,
    - b)  $10\Omega$ 'luk endüktif bir yükü beslediğinde oluşacak tüm devre parametrelerini hesaplayınız.
  - **Çözüm:**
    - a) Rezistif yükte çıkış geriliminin ortalama değeri,
      - Çıkış akımı ortalama değeri, $I_{dc} = I_m = \sqrt{3} \cdot V_m / Z = 538 / 10 = 53,8A$
      - Ortalama çıkış gücü, $P_{dc} = I_{dc} \cdot V_{dc}$  $P_{dc} = 53,8 \cdot 0 = 0kW$  (ani değer).
      - Kaynak akımının etkin değeri, $|A(rms)| = I_m \cdot \sqrt{k}$  $|A(rms)| = \sqrt{3} \cdot V_m / Z \cdot \sqrt{[t_1/(t_1+t_2)]}$  $|A(rms)| = 538/10 \cdot \sqrt{(6,66ms / 10ms)}$  $|A(rms)| = 43,9A$
    - Bu tür bir doğrultucu rezistif yükte kullanılmaz, kullanılacak olursa yarım kontrollü gibi olur.

# |V – AC/DC DÖNÜŞTÜRÜCÜLER

- Endüktif yükte anahtar (diyot-tristör) gerilimi,  
 $P_{S(\text{rms})} = 3 \cdot I_{S(\text{rms})} \cdot V_{S(\text{rms})}$   
 $P_{S(\text{rms})} = 3,43,9 \cdot 220 = 28,97 \text{ kW}$
- Endüktif yükte anahtar (diyot-tristör) akımı,  
 $V_D \geq \sqrt{3} \cdot V_m + \%30$   
 $V_D \geq \sqrt{3} \cdot 311 \cdot 1,3 \geq 700 \text{ V}$
- Bilindiği gibi tam kontrollu köprü doğrultucu çıkış gerilimi çok endüktif yükte, pozitif maksimum ile negatif maksimum arasında değişmekte ve doğrultucu çift yönlü çalışmaktadır.
- DC motorlarda yön değişimi için çiftli kullanılan bu devre ile Şekil-4.146'da görüldüğü gibi 4 bölgeli çalışma sağlanabilir.

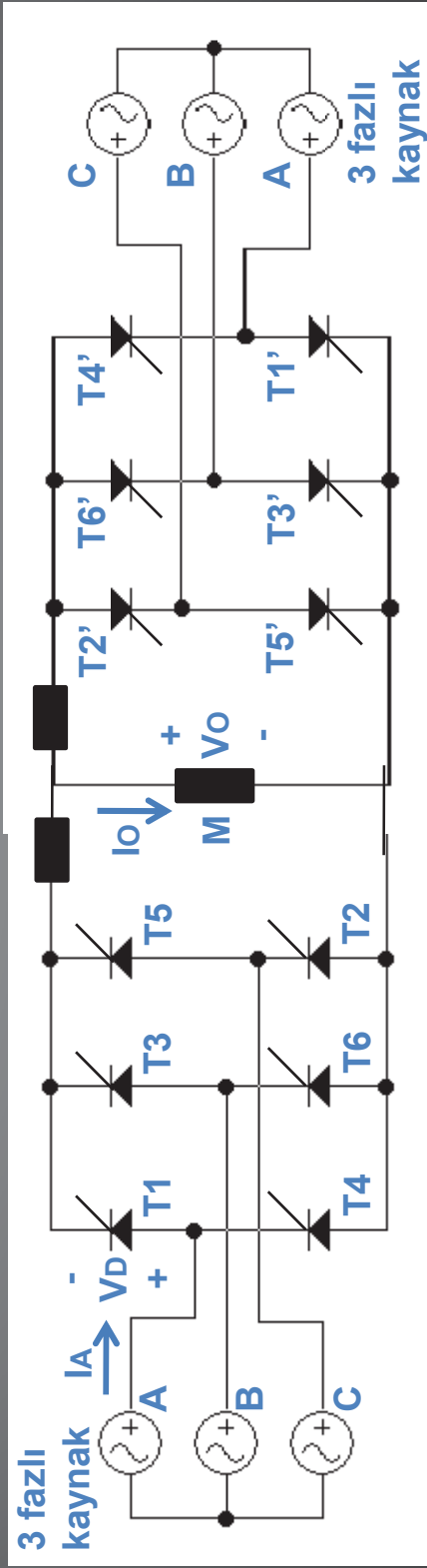


■ Endüktif yükte anahtar (diyot-tristör) akımı,

$$I_D \geq \sqrt{3} \cdot V_m / R + \%30$$
$$I_D \geq 53,8 \cdot 1,3 \geq 70 \text{ A}$$

# IV – AC/DC DÖNÜŞTÜRÜCÜLER

- 3 fazlı tam kontrollü çift köprü doğrultucu;
- 3 fazlı tam kontrollü çift köprü doğrultucu güç devresi bağlantısı endüktif yük için Şekil-4.147'de gösterilmiştir.
- Bu devrede de 1 fazlı uygulamada olduğu gibi iki tan kontrollu köprü birbirine ters paralel olarak bağlanmıştır.
- Devrenin uyarmasında ise daha önce açılanan tam kontrollu uyarma düzeneğinden iki adet kullanılmalı ve bu devreler de 1 fazlı çift köprü doğrultucuda olduğu gibi bir lojik kontrol devresiyle kontrol edilmelidir.
- Bilindiği gibi bu devre tek tek ya da daima “ $\alpha_1 + \alpha_2 = 180^\circ$ ” şartını sağlayacak şekilde uyarılmalıdır.



## ÖDEV-10

10.1) 380V/220V-50Hz şebekede  $19\Omega$ 'luk saf rezistif bir yükü besleyen 3 fazlı tam dalgı kontolsuz doğrultucunun,

- a) Devre şemasını tam olarak çiziniz, akım ve gerilim yönlerini devre üzerinde gösteriniz.
- b) Devrenin temel dalgı şekillerini değerleriyle birlikte çiziniz.
- c) Çizilen dalgı şekillerine göre temel parametreleri hesaplayınız.

10.2) 380V/220V-50Hz şebekede,  $120^\circ$  uyarma açısından,  $22\Omega$ 'luk rezistif bir yükü besleyen 3 fazlı tam dalgı yarım kontrollü doğrultucunun,

- a) Devre şemasını tam olarak çiziniz, akım ve gerilim yönlerini devre üzerinde gösteriniz.
- b) Devrenin temel dalgı şekillerini değerleriyle birlikte çiziniz.
- c) Çizilen dalgı şekillerine göre temel parametreleri hesaplayınız.

10.2) 380V/220V-50Hz şebekede,  $60^\circ$  uyarma açısından,  $10\Omega$ 'luk rezistif bir yükü besleyen 3 fazlı tam dalgı tam kontrollü doğrultucunun,

- a) Devre şemasını tam olarak çiziniz, akım ve gerilim yönlerini devre üzerinde gösteriniz.
- b) Devrenin temel dalgı şekillerini değerleriyle birlikte çiziniz.
- c) Çizilen dalgı şekillerine göre temel parametreleri hesaplayınız.